

**Dynamik und räumliche Muster forstlicher Standorte in Deutschland
Ergebnisse der Bodenzustandserhebung im Wald 2006 bis 2008**

Kartenband

Kapitel 8: Waldernährung

W. Riek, U. Talkner, I. Dammann, M. Kohler, K. J. Meiwes, A. Göttlein

Inhaltsverzeichnis

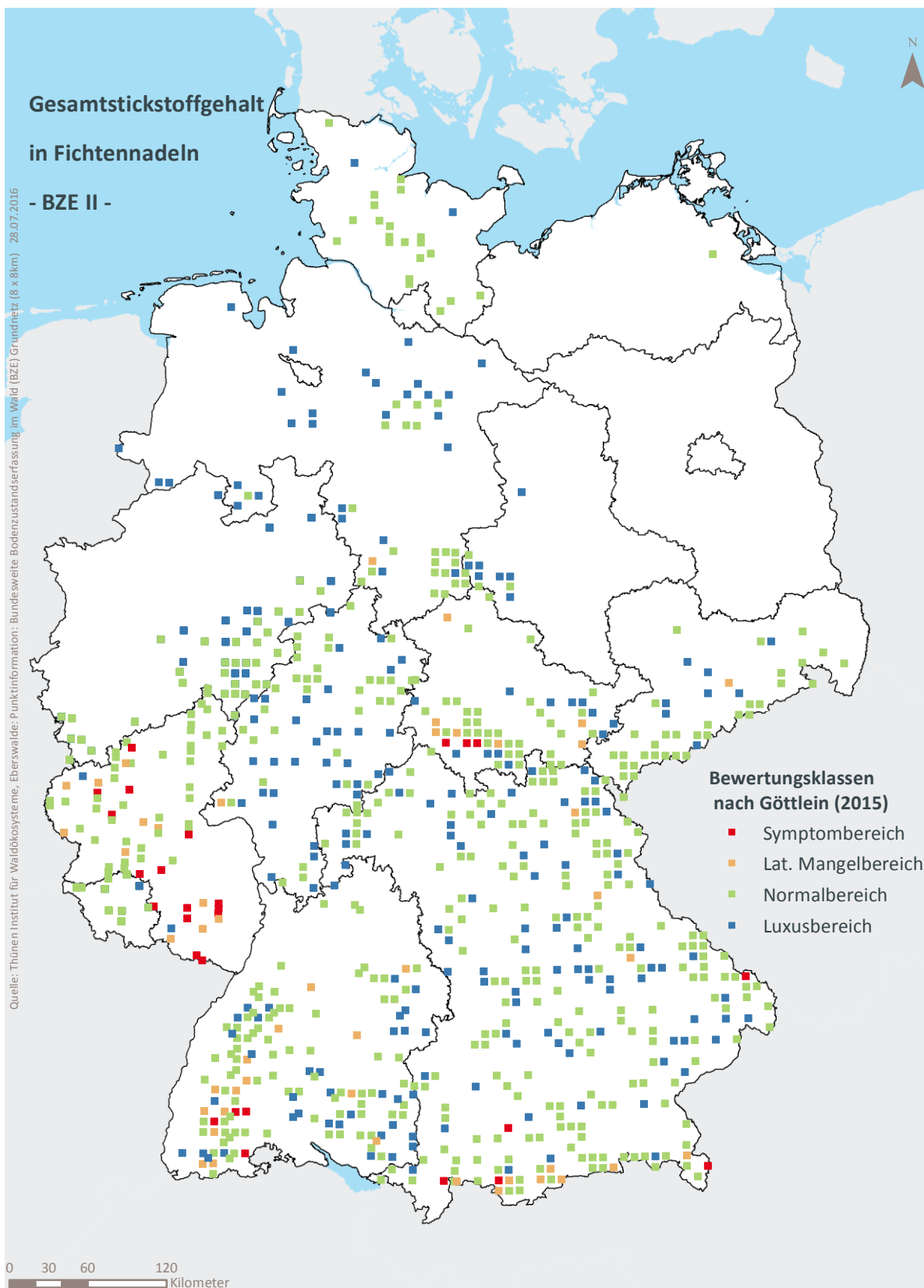
8 Waldernährung	1
8.1 Räumliche Verteilung der Stickstoffgehalte	1
8.2 Räumliche Verteilung der Phosphorgehalte	6
8.3 Räumliche Verteilung der Kaliumgehalte	11
8.4 Räumliche Verteilung der Calciumgehalte	16
8.5 Räumliche Verteilung der Magnesiumgehalte	21
8.6 Räumliche Verteilung der Schwefelgehalte	26
8.7 Räumliche Verteilung der Eisengehalte	31
8.8 Räumliche Verteilung der Mangangehalte	36
8.9 Räumliche Verteilung der Kupfergehalte	41
8.10 Räumliche Verteilung der Zinkgehalte	46

Kartenverzeichnis

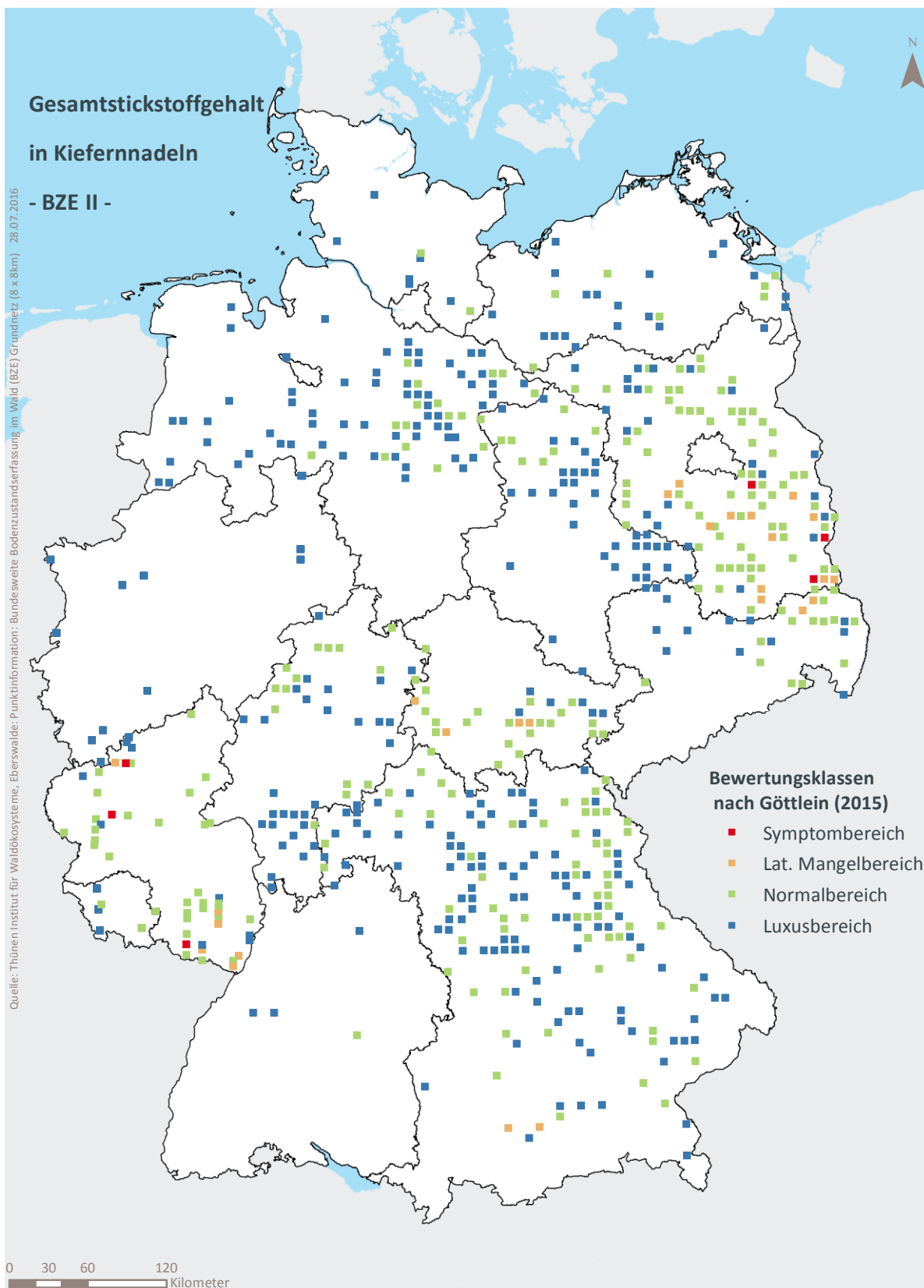
Karte II-8-1: Räumliche Verteilung der Stickstoffgehalte in Fichtennadeln	2
Karte II-8-2: Räumliche Verteilung der Stickstoffgehalte in Kiefernnadeln	3
Karte II-8-3: Räumliche Verteilung der Stickstoffgehalte in Buchenblättern	4
Karte II-8-4: Räumliche Verteilung der Stickstoffgehalte in Eichenblättern	5
Karte II-8-5: Räumliche Verteilung der Phosphorgehalte in Fichtennadeln	7
Karte II-8-6: Räumliche Verteilung der Phosphorgehalte in Kiefernnadeln	8
Karte II-8-7: Räumliche Verteilung der Phosphorgehalte in Buchenblättern	9
Karte II-8-8: Räumliche Verteilung der Phosphorgehalte in Eichenblättern	10
Karte II-8-9: Räumliche Verteilung der Kaliumgehalte in Fichtennadeln	12
Karte II-8-10: Räumliche Verteilung der Kaliumgehalte in Kiefernnadeln	13
Karte II-8-11: Räumliche Verteilung der Kaliumgehalte in Buchenblättern	14
Karte II-8-12: Räumliche Verteilung der Kaliumgehalte in Eichenblättern	15
Karte II-8-13: Räumliche Verteilung der Calciumgehalte in Fichtennadeln	17
Karte II-8-14: Räumliche Verteilung der Calciumgehalte in Kiefernnadeln	18
Karte II-8-15: Räumliche Verteilung der Calciumgehalte in Buchenblättern	19
Karte II-8-16: Räumliche Verteilung der Calciumgehalte in Eichenblättern	20
Karte II-8-17: Räumliche Verteilung der Magnesiumgehalte in Fichtennadeln	22
Karte II-8-18: Räumliche Verteilung der Magnesiumgehalte in Kiefernnadeln	23
Karte II-8-19: Räumliche Verteilung der Magnesiumgehalte in Buchenblättern	24
Karte II-8-20: Räumliche Verteilung der Magnesiumgehalte in Eichenblättern	25
Karte II-8-21: Räumliche Verteilung der Schwefelgehalte in Fichtennadeln	27
Karte II-8-22: Räumliche Verteilung der Schwefelgehalte in Kiefernnadeln	28
Karte II-8-23: Räumliche Verteilung der Schwefelgehalte in Buchenblättern	29
Karte II-8-24: Räumliche Verteilung der Schwefelgehalte in Eichenblättern	30
Karte II-8-25: Räumliche Verteilung der Eisengehalte in Fichtennadeln	32
Karte II-8-26: Räumliche Verteilung der Eisengehalte in Kiefernnadeln	33
Karte II-8-27: Räumliche Verteilung der Eisengehalte in Buchenblättern	34
Karte II-8-28: Räumliche Verteilung der Eisengehalte in Eichenblättern	35
Karte II-8-29: Räumliche Verteilung der Mangangehalte in Fichtennadeln	37
Karte II-8-30: Räumliche Verteilung der Mangangehalte in Kiefernnadeln	38
Karte II-8-31: Räumliche Verteilung der Mangangehalte in Buchenblättern	39
Karte II-8-32: Räumliche Verteilung der Mangangehalte in Eichenblättern	40
Karte II-8-33: Räumliche Verteilung der Kupfergehalte in Fichtennadeln	42
Karte II-8-34: Räumliche Verteilung der Kupfergehalte in Kiefernnadeln	43
Karte II-8-35: Räumliche Verteilung der Kupfergehalte in Buchenblättern	44
Karte II-8-36: Räumliche Verteilung der Kupfergehalte in Eichenblättern	45
Karte II-8-37: Räumliche Verteilung der Zinkgehalte in Fichtennadeln	47
Karte II-8-38: Räumliche Verteilung der Zinkgehalte in Kiefernnadeln	48
Karte II-8-39: Räumliche Verteilung der Zinkgehalte in Buchenblättern	49
Karte II-8-40: Räumliche Verteilung der Zinkgehalte in Eichenblättern	50

8 Waldernährung - Räumliche Verteilung der Nährelemente in den Nadeln bzw. Blättern

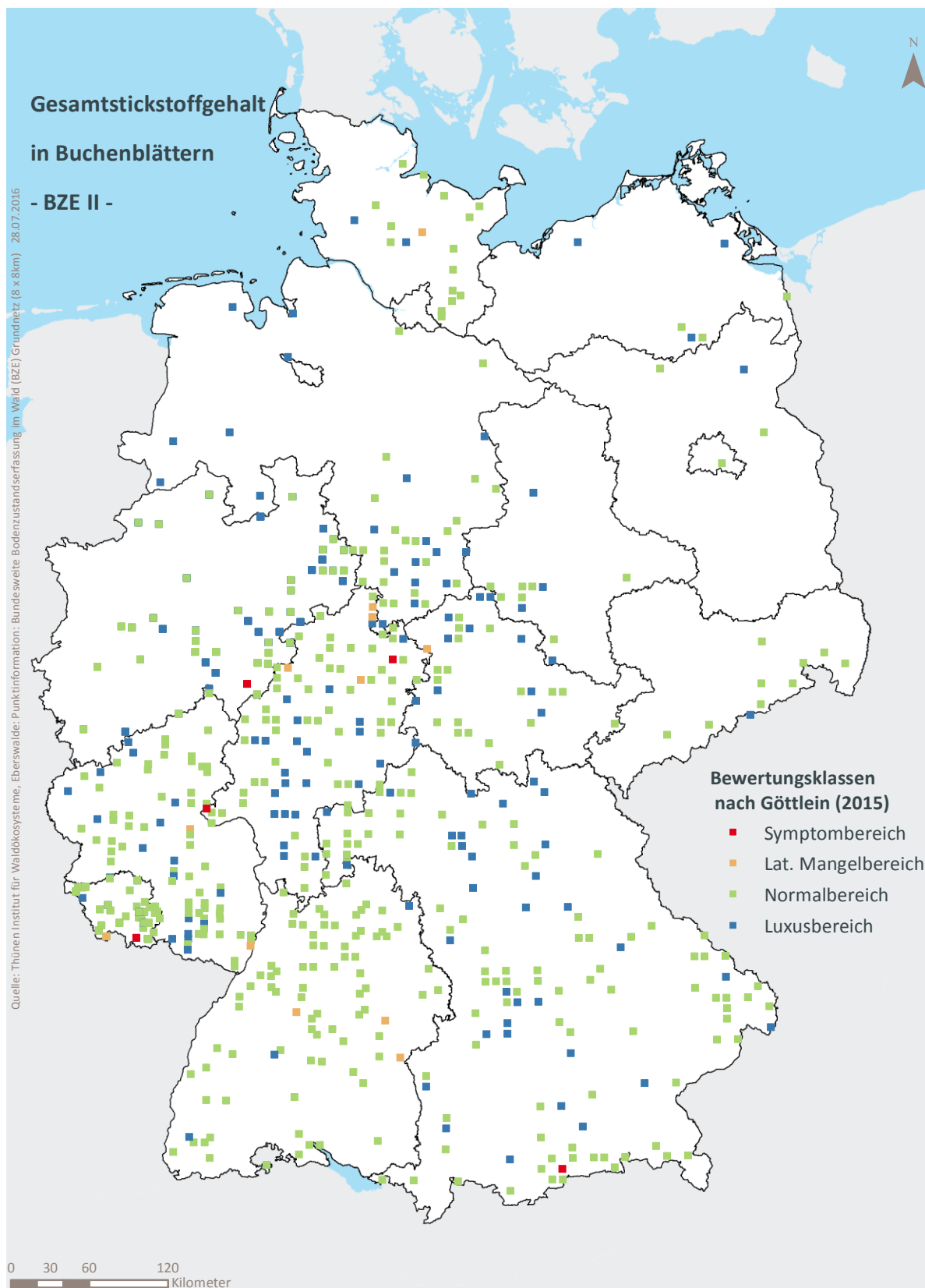
8.1 Räumliche Verteilung der Stickstoffgehalte



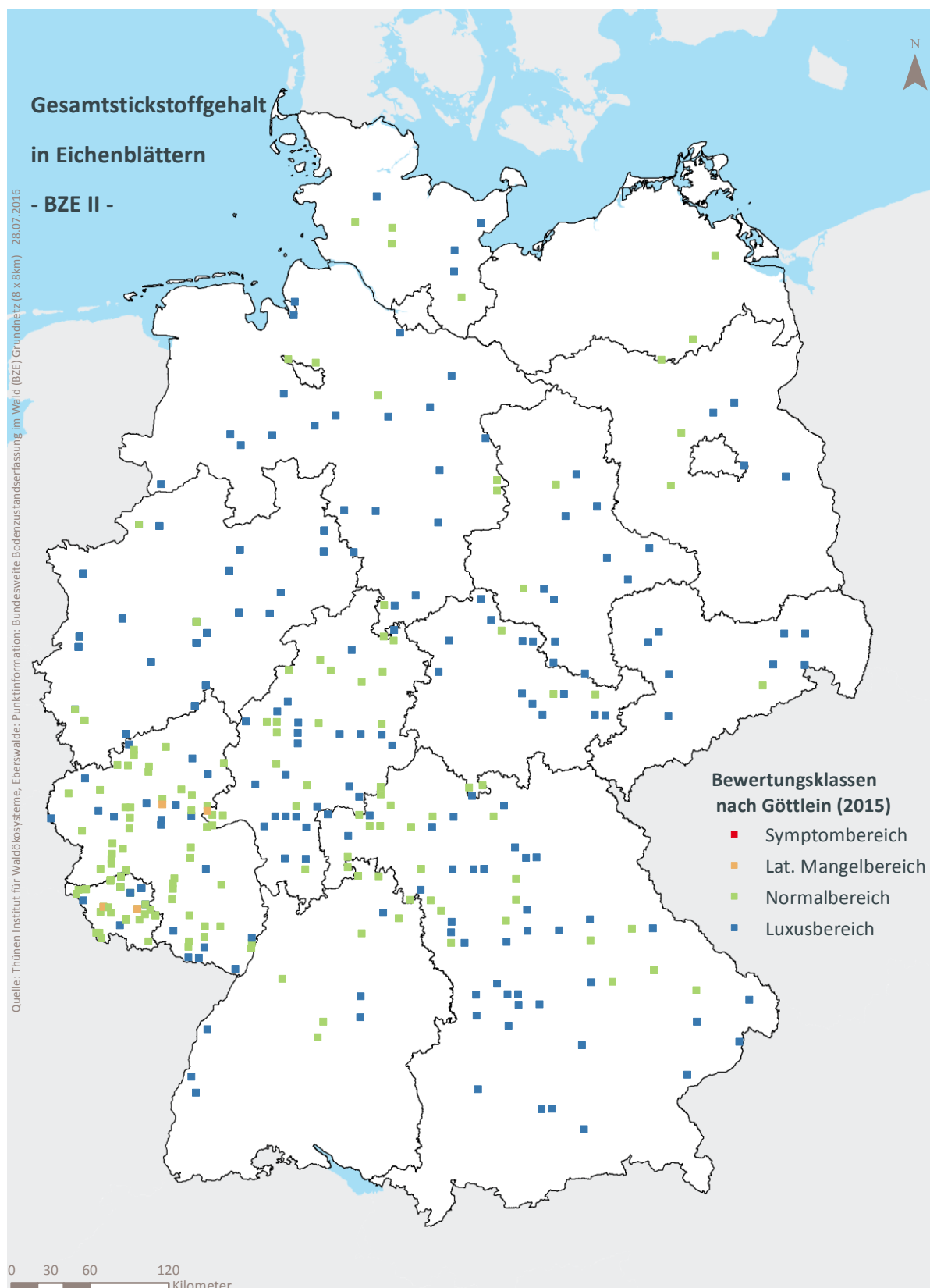
Karte II-8-1: Räumliche Verteilung der Stickstoffgehalte in Fichtennadeln bewertet nach Göttlein (2015), 1. Nadeljahrgang, (BZE II).



Karte II-8-2: Räumliche Verteilung der Stickstoffgehalte in Kiefernadeln bewertet nach Göttlein (2015), 1. Nadeljahrgang, (BZE II).

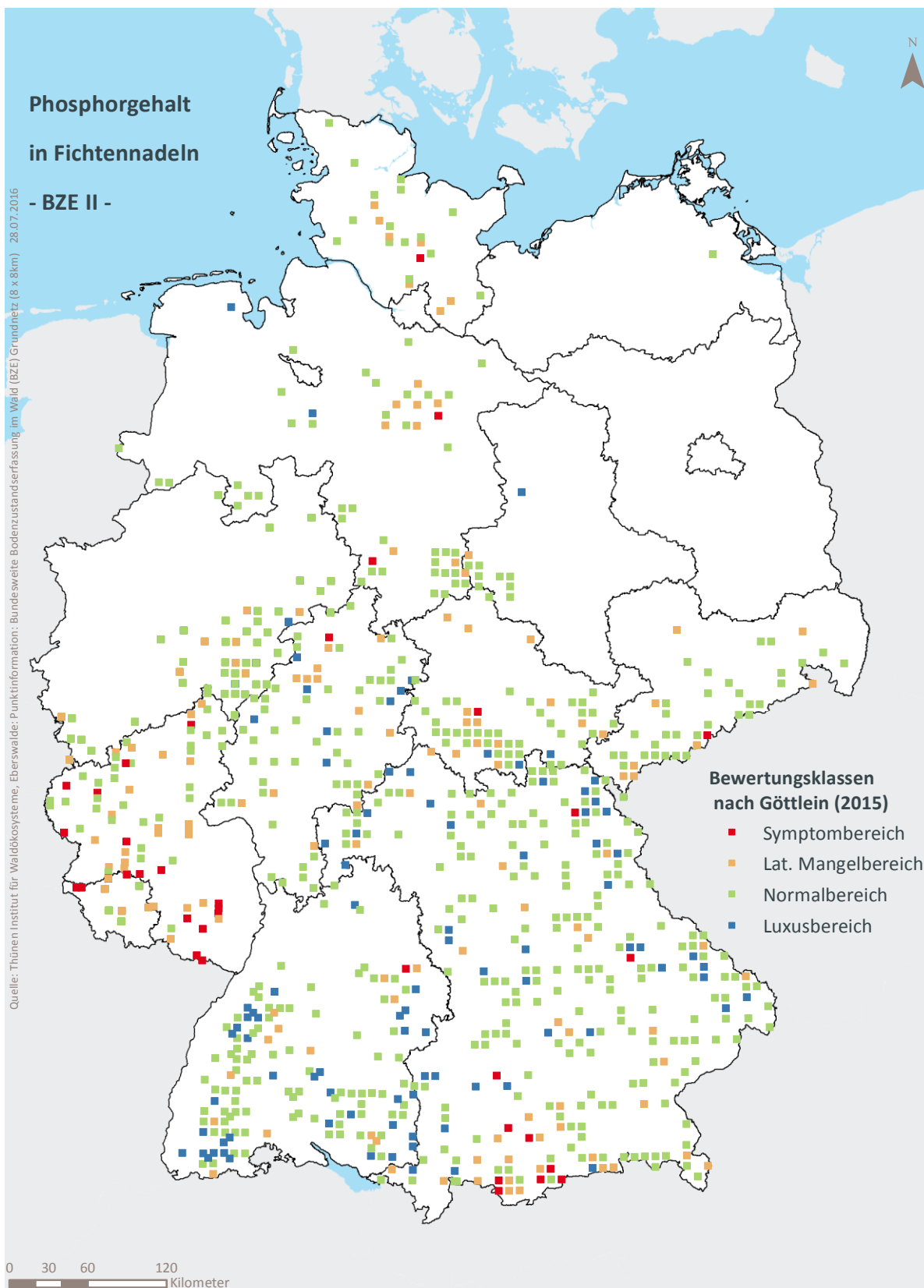


Karte II-8-3: Räumliche Verteilung der Stickstoffgehalte in Buchenblättern bewertet nach Göttlein (2015), (BZE II).

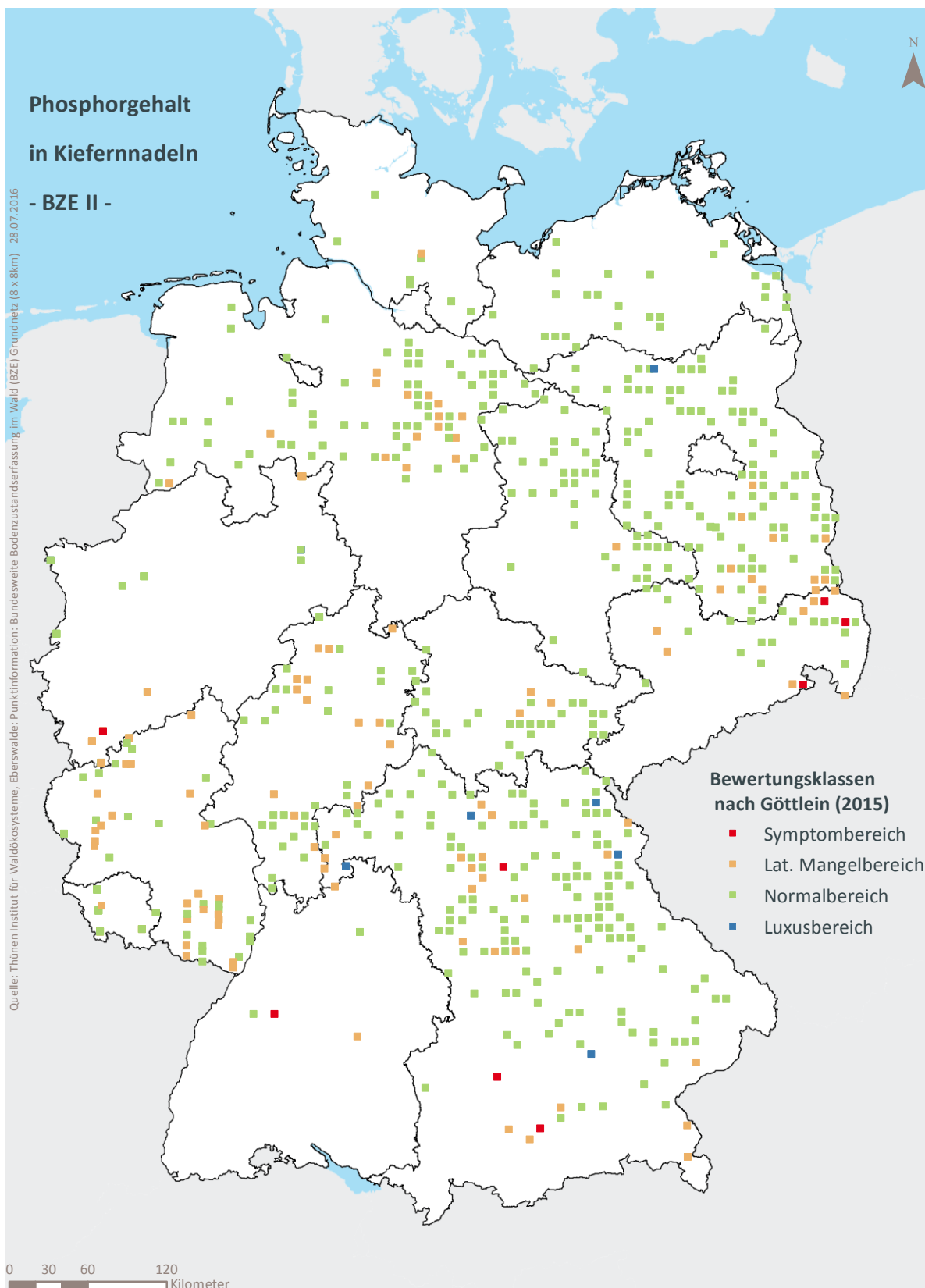


Karte II-8-4: Räumliche Verteilung der Stickstoffgehalte in Eichenblättern bewertet nach Göttsche (2015), (BZE II).

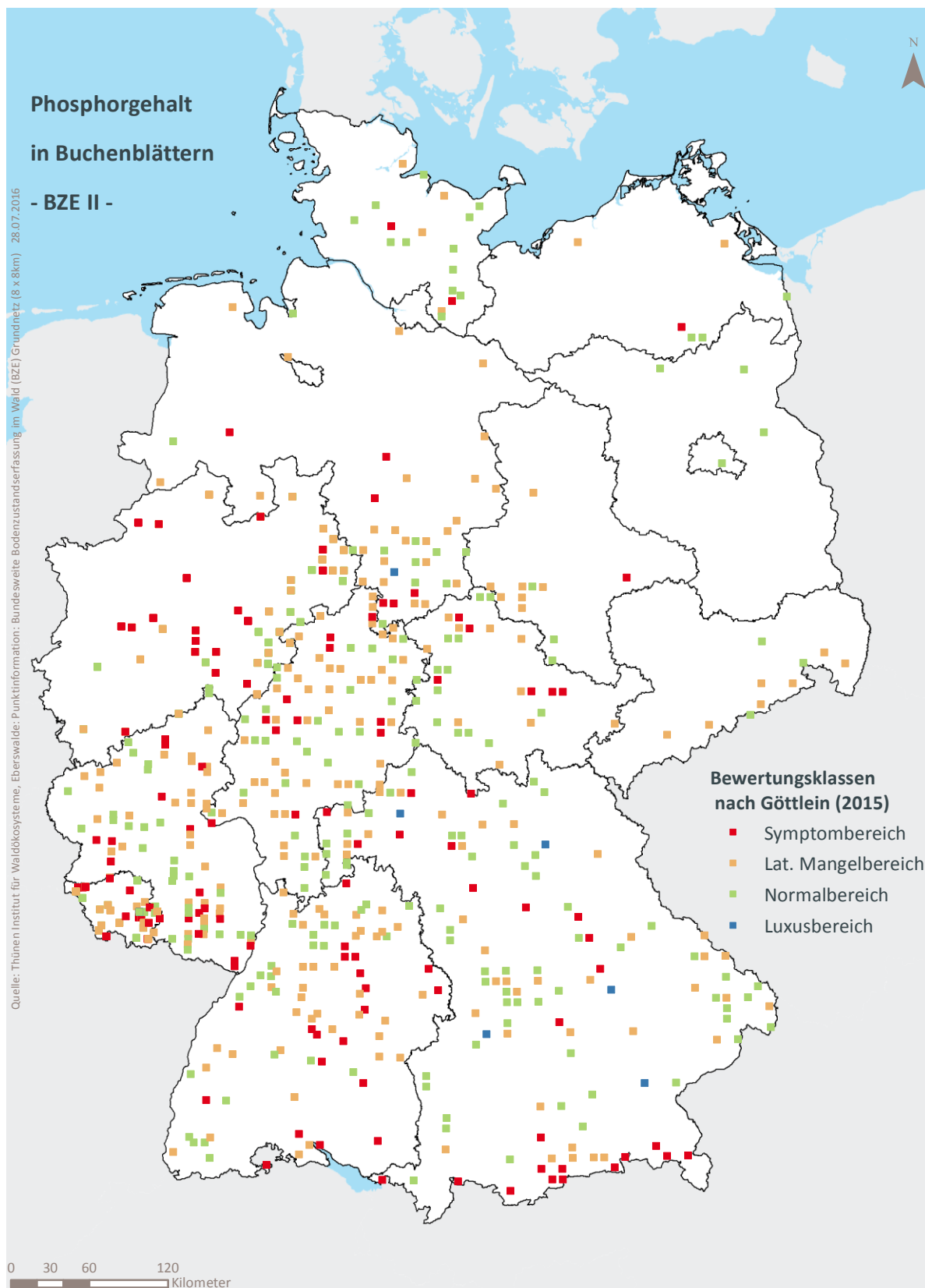
8.2 Räumliche Verteilung der Phosphorgehalte



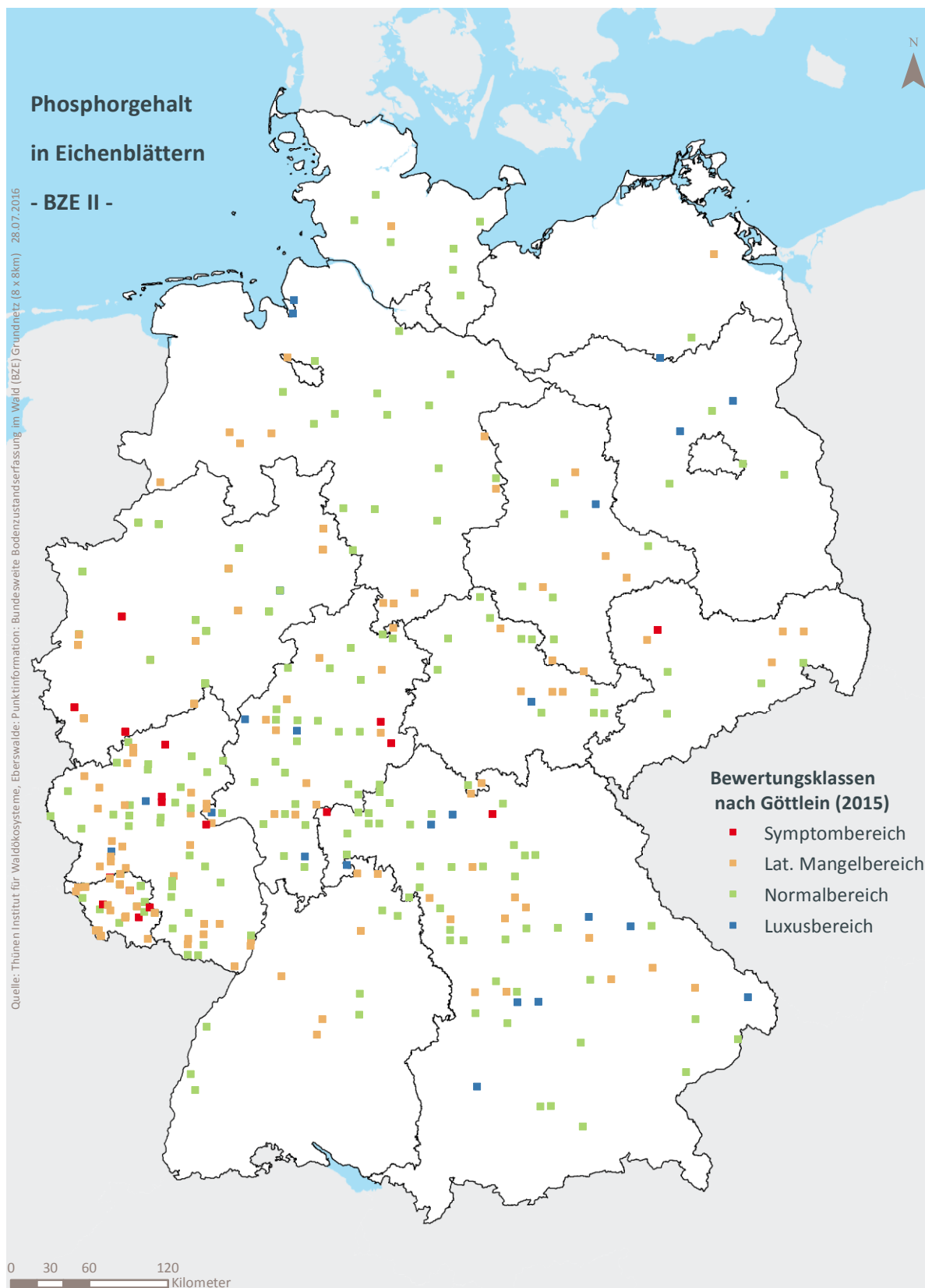
Karte II-8-5: Räumliche Verteilung der Phosphorgehalte in Fichtennadeln bewertet nach Göttlein (2015), 1. Nadeljahrgang, (BZE II).



Karte II-8-6: Räumliche Verteilung der Phosphorgehalte in Kiefernadeln bewertet nach Göttlein (2015), 1. Nadeljahrgang, (BZE II).

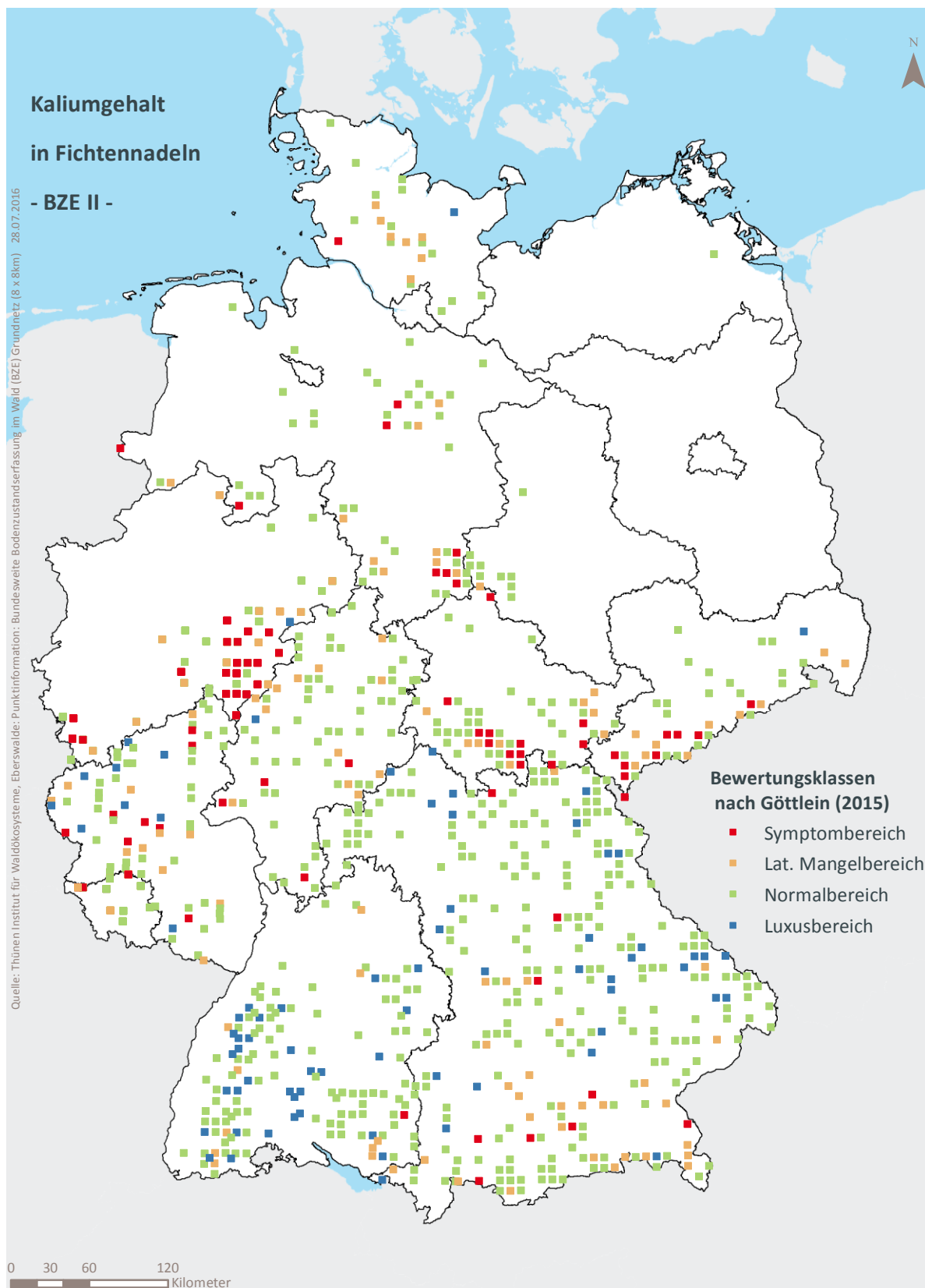


Karte II-8-7: Räumliche Verteilung der Phosphorgehalte in Buchenblättern bewertet nach Göttlein (2015), (BZE II).

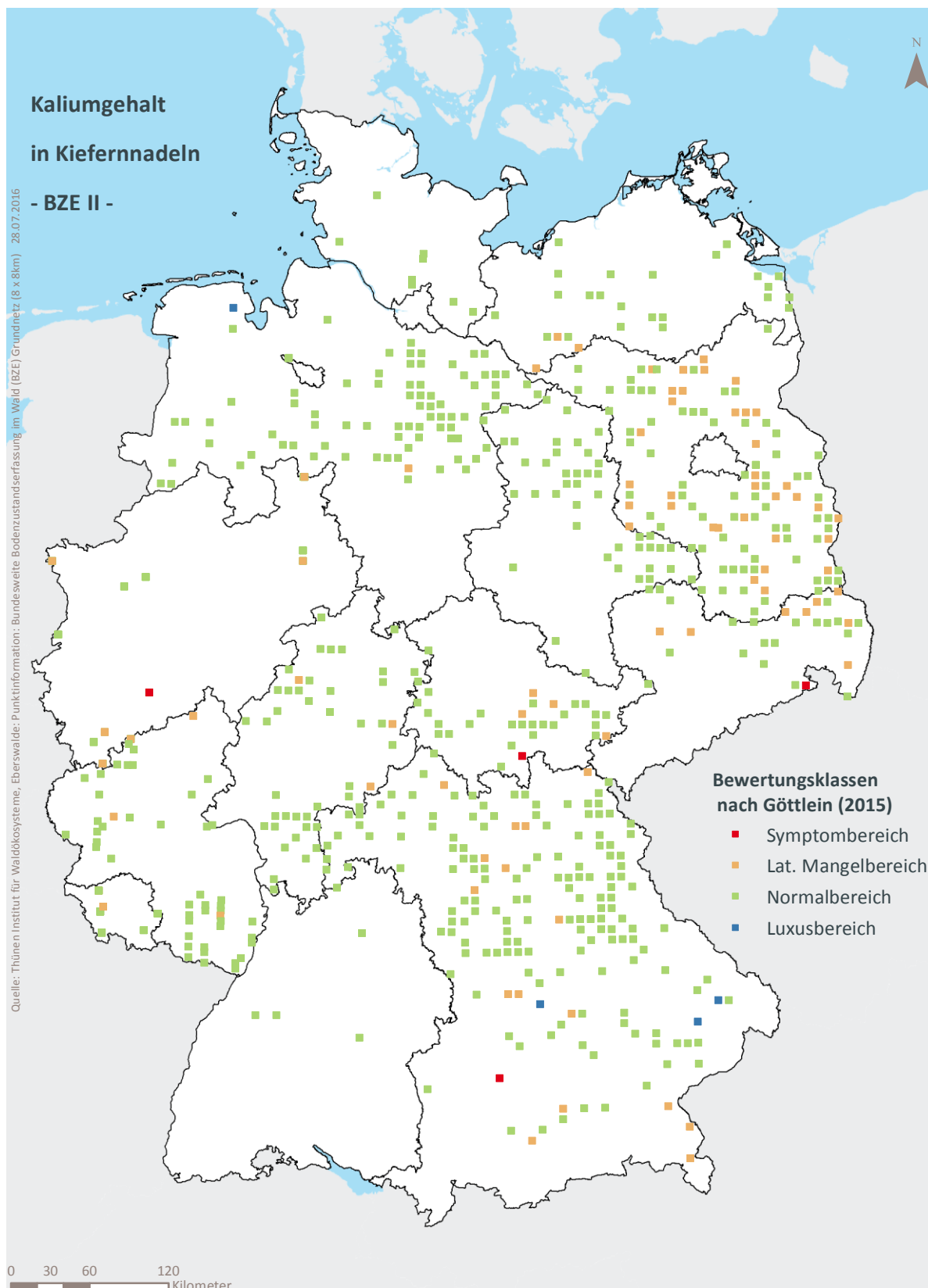


Karte II-8-8: Räumliche Verteilung der Phosphorgehalte in Eichenblättern bewertet nach Göttsche (2015), (BZE II).

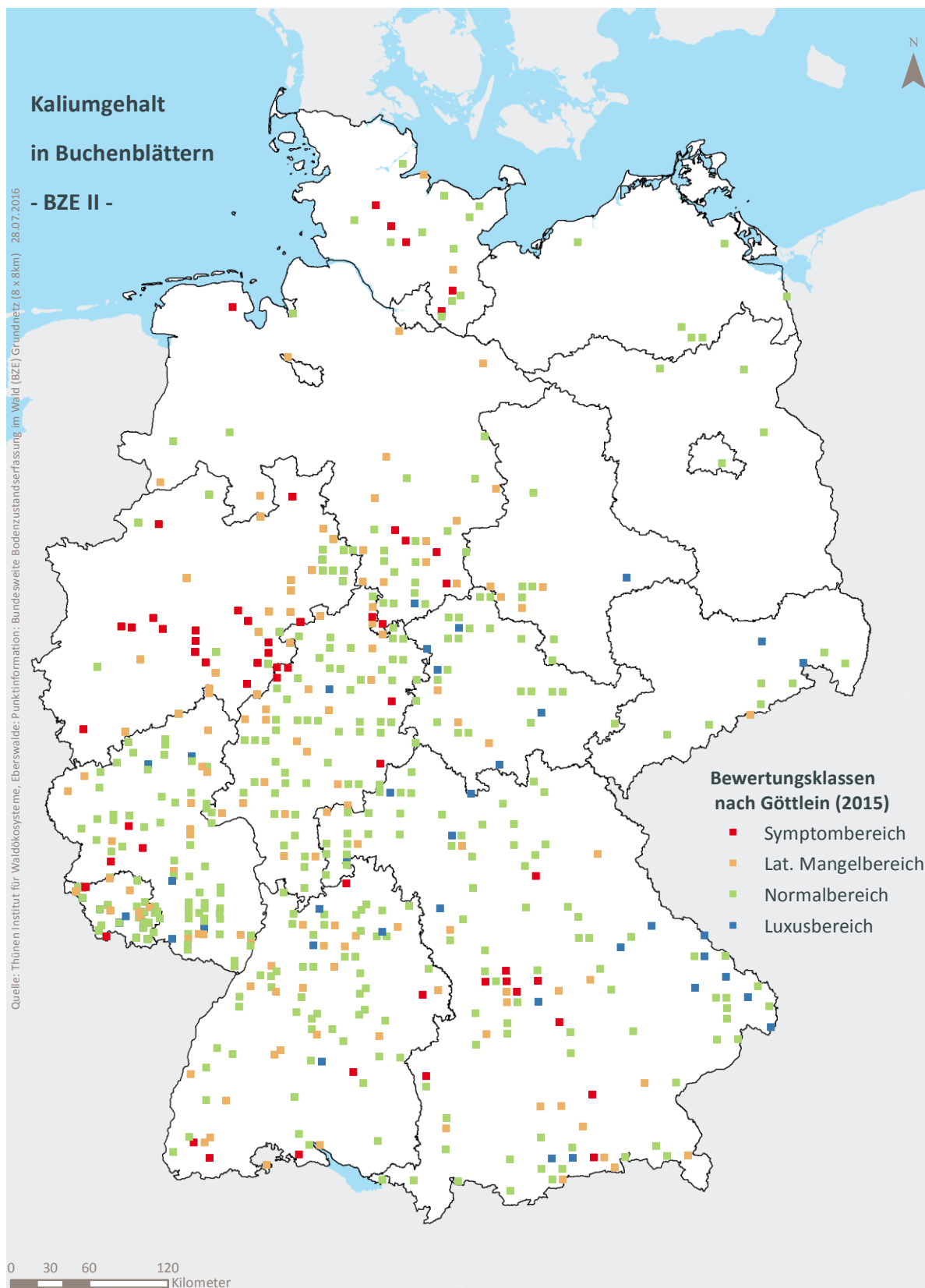
8.3 Räumliche Verteilung der Kaliumgehalte



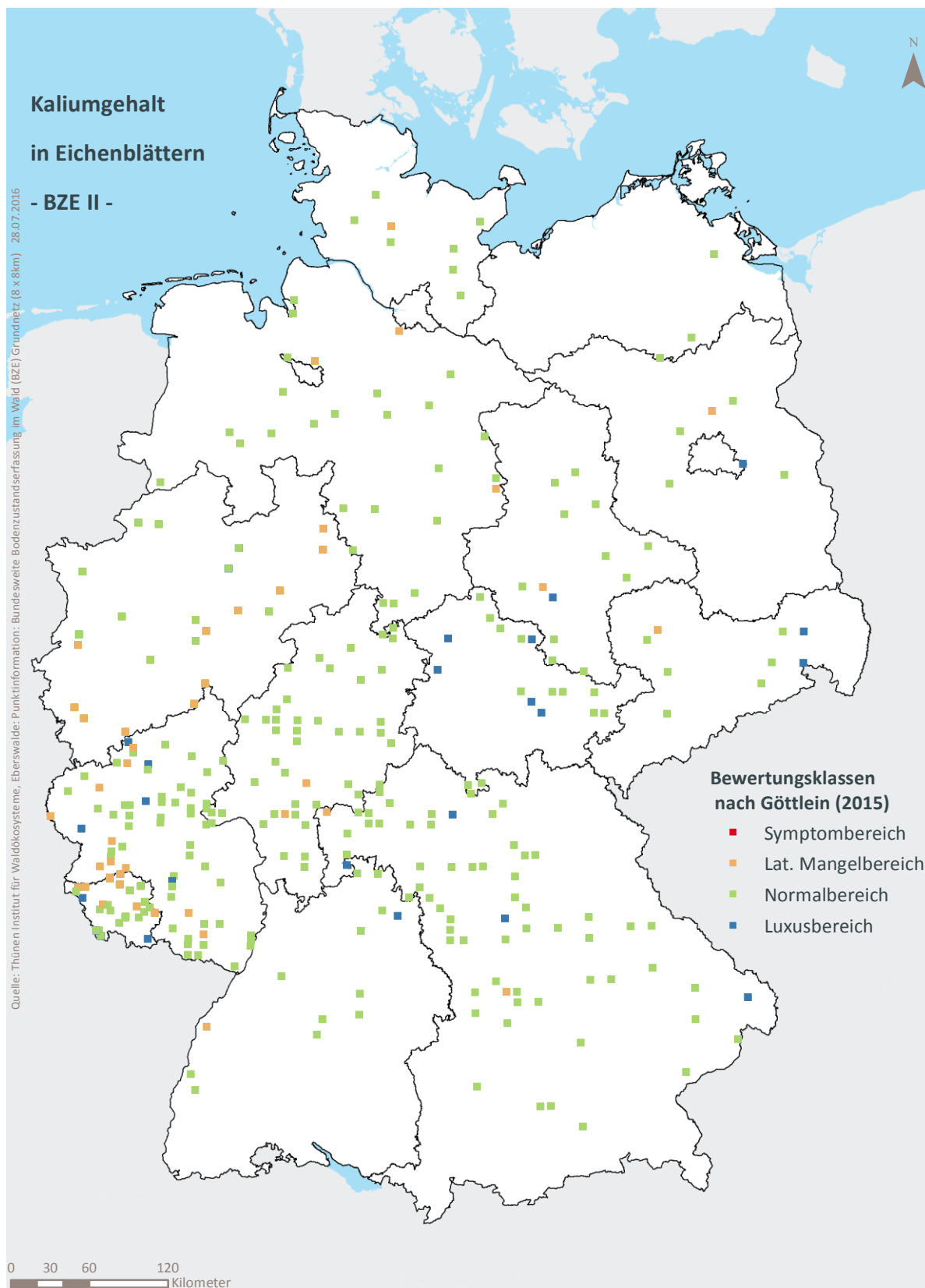
Karte II-8-9: Räumliche Verteilung der Kaliumgehalte in Fichtennadeln bewertet nach Göttlein (2015), 1. Nadeljahrgang, (BZE II).



Karte II-8-10: Räumliche Verteilung der Kaliumgehalte in Kiefernadeln bewertet nach Göttlein (2015), 1. Nadeljahrgang, (BZE II).

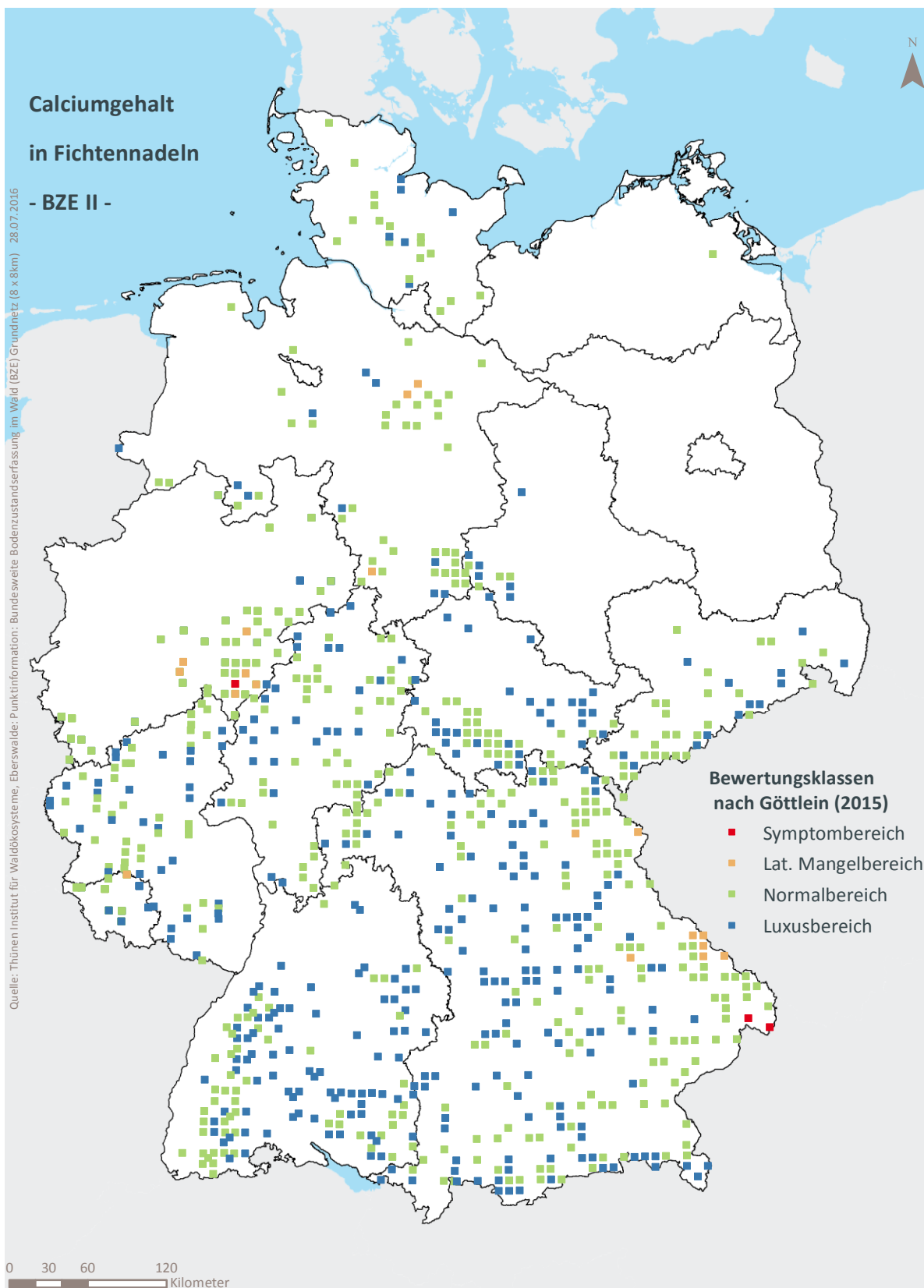


Karte II-8-11: Räumliche Verteilung der Kaliumgehalte in Buchenblättern bewertet nach Göttlein (2015), (BZE II).

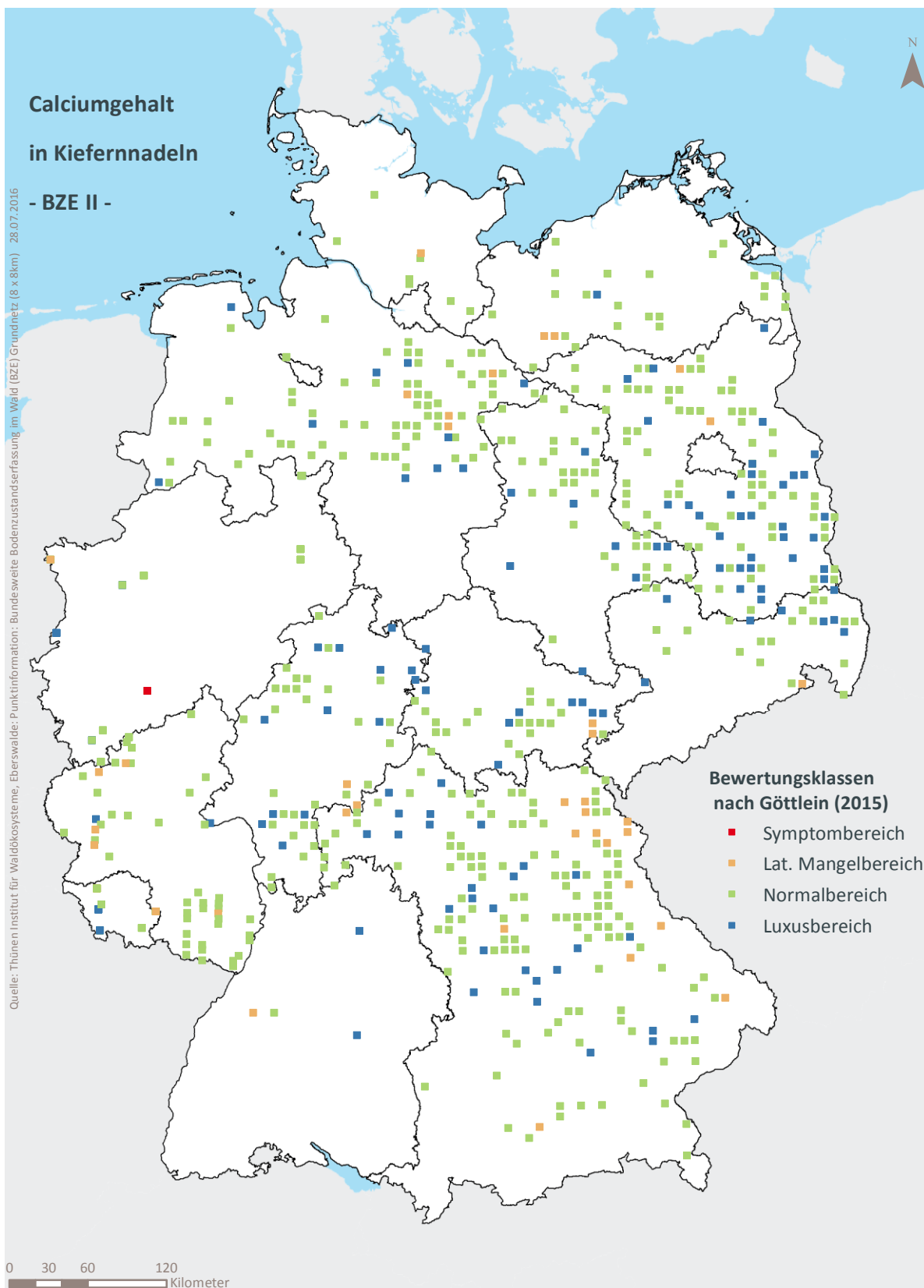


Karte II-8-12: Räumliche Verteilung der Kaliumgehalte in Eichenblättern bewertet nach Göttlein (2015), (BZE II).

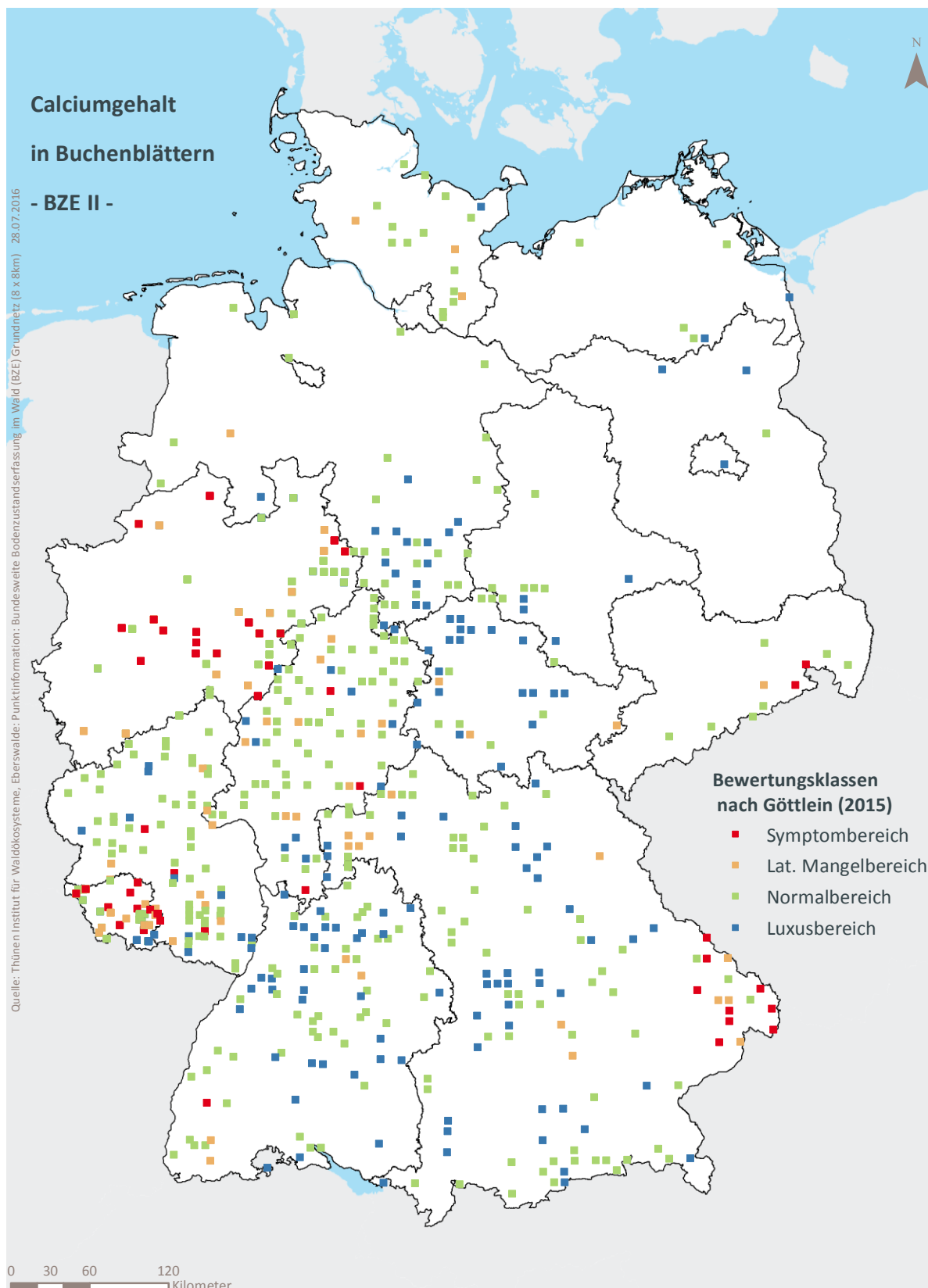
8.4 Räumliche Verteilung der Calciumgehalte



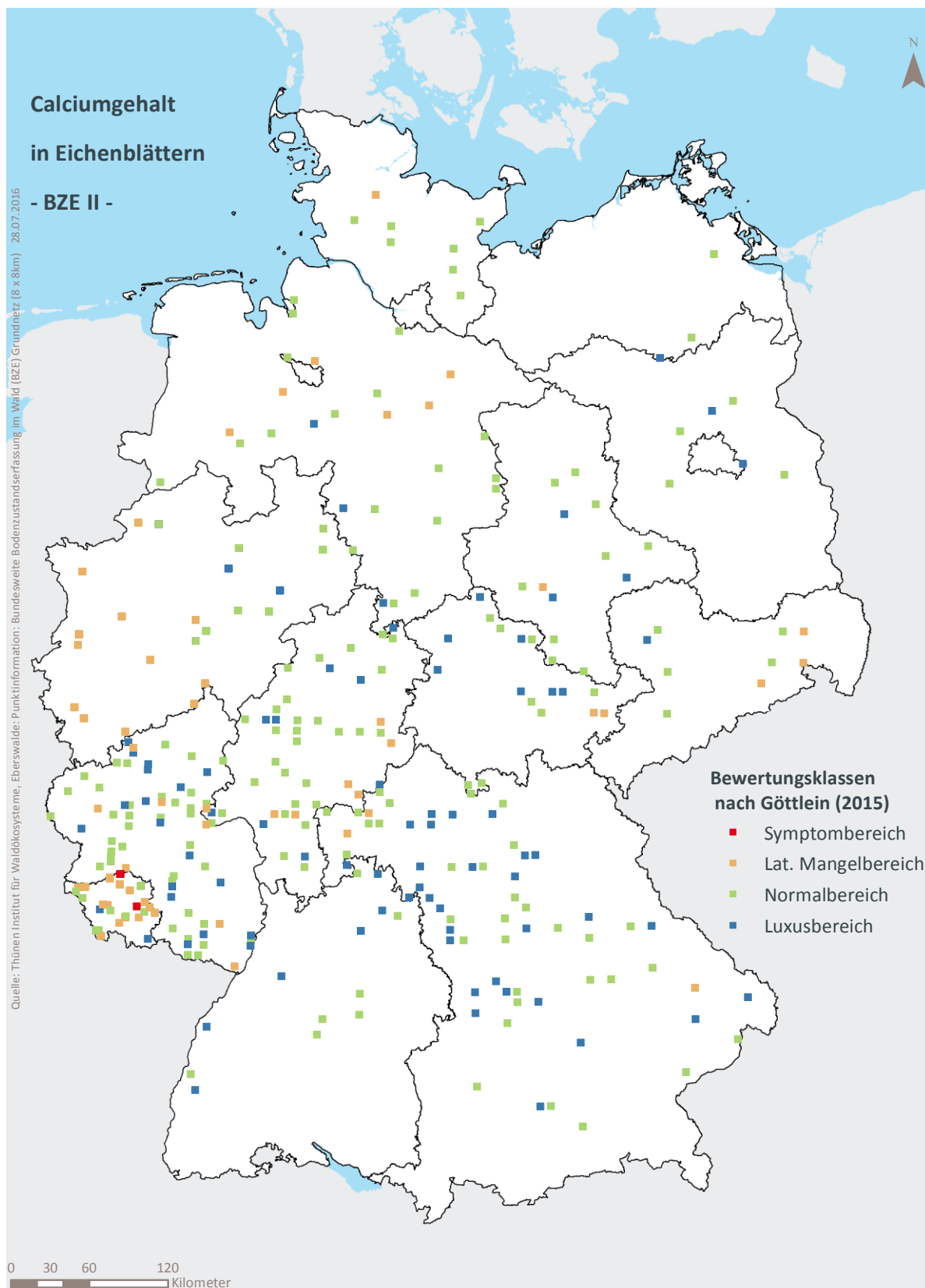
Karte II-8-13: Räumliche Verteilung der Calciumgehalte in Fichtennadeln bewertet nach Göttlein (2015), 1. Nadeljahrgang, (BZE II).



Karte II-8-14: Räumliche Verteilung der Calciumgehalte in Kiefernadeln bewertet nach Göttlein (2015), 1. Nadeljahrgang, (BZE II).

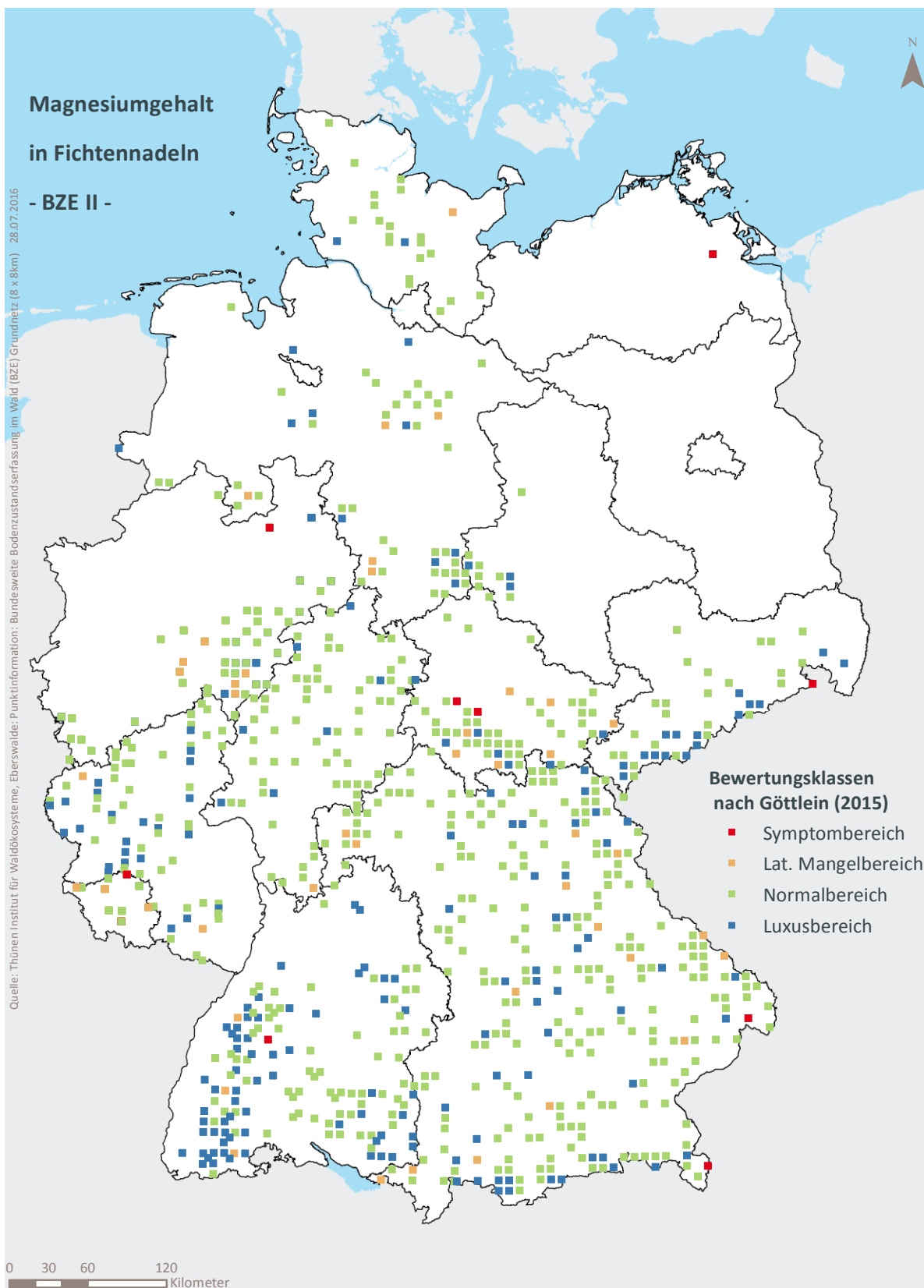


Karte II-8-15: Räumliche Verteilung der Calciumgehalte in Buchenblättern bewertet nach Göttlein (2015), (BZE II).

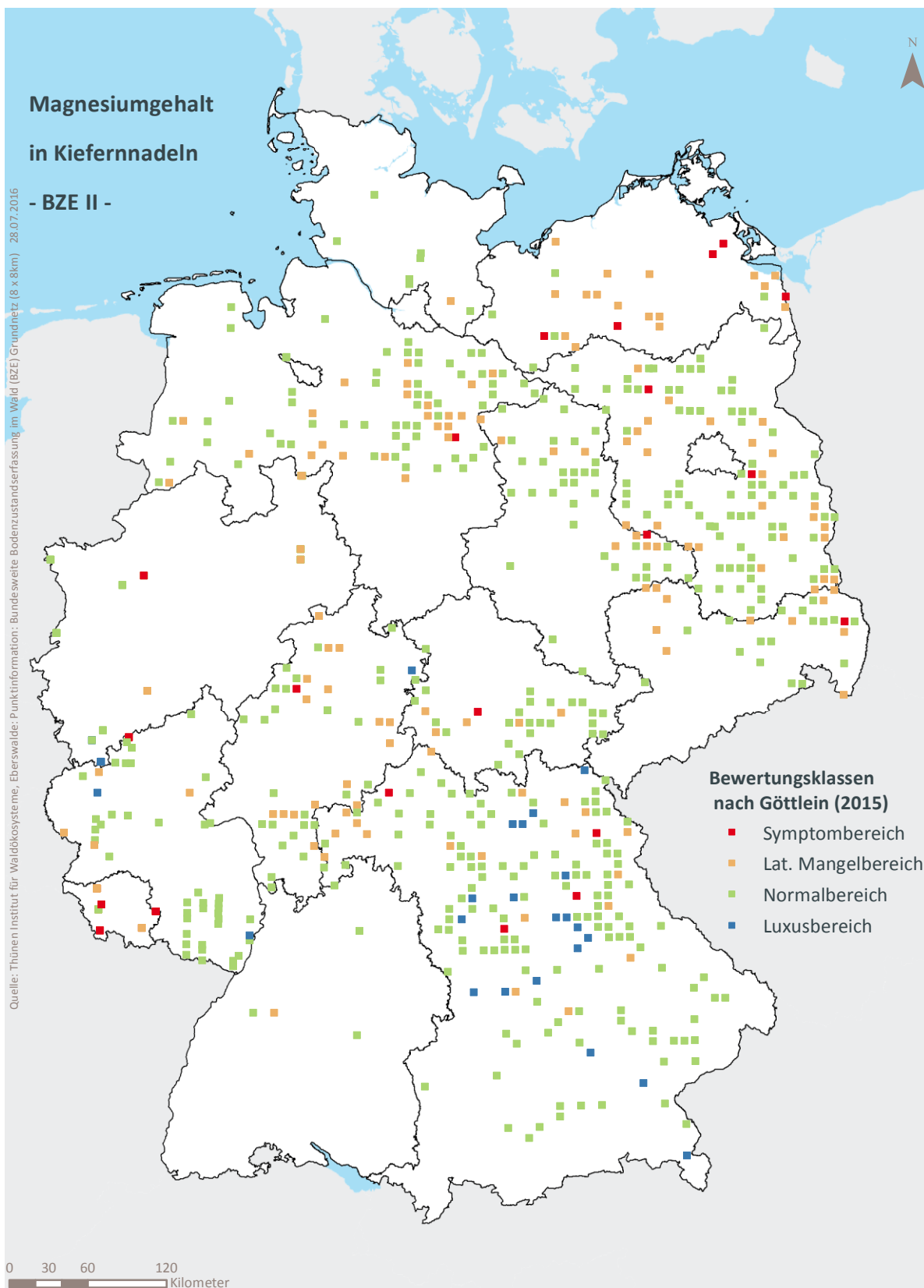


Karte II-8-16: Räumliche Verteilung der Calciumgehalte in Eichenblättern bewertet nach Göttlein (2015), (BZE II).

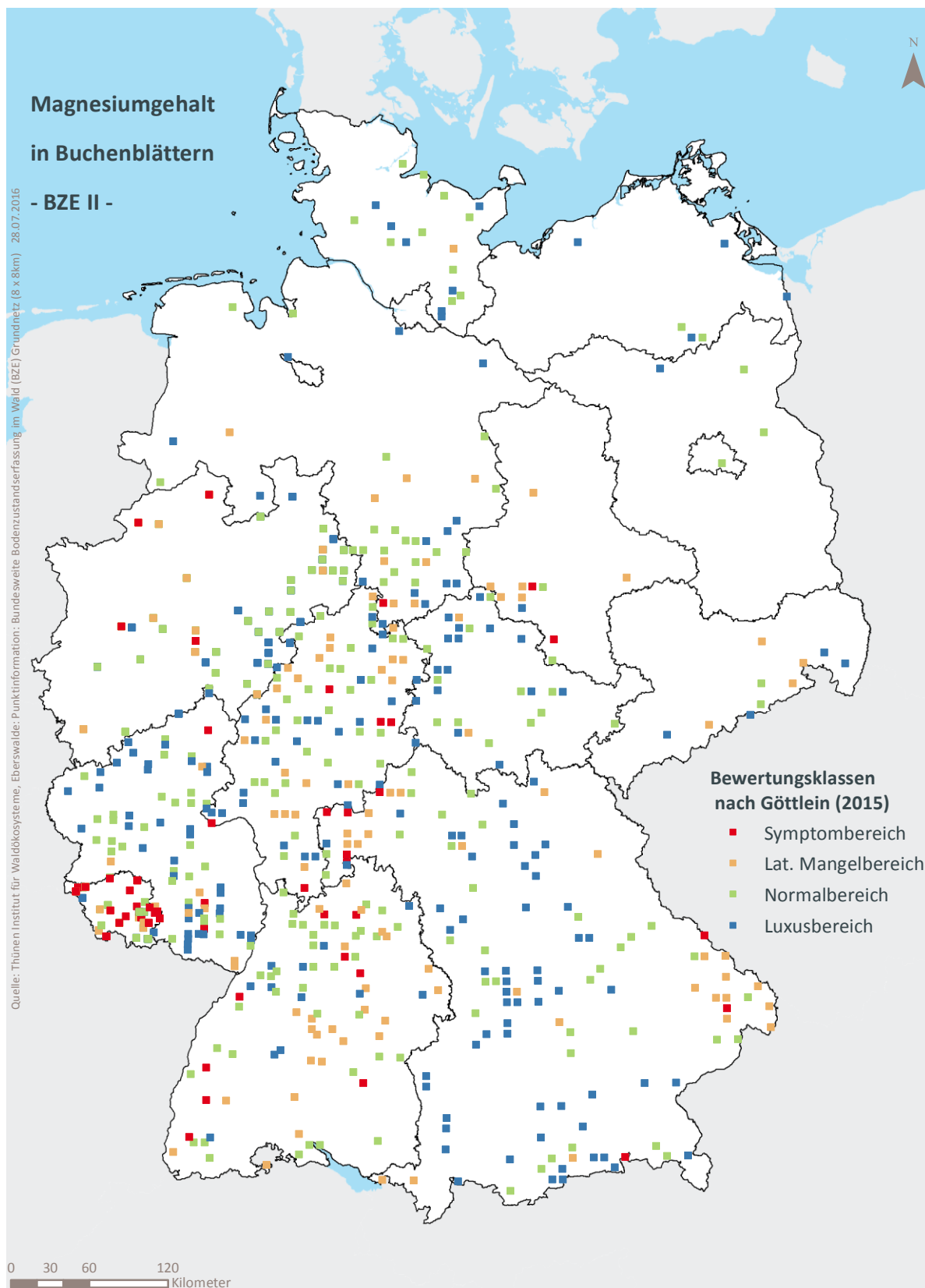
8.5 Räumliche Verteilung der Magnesiumgehalte



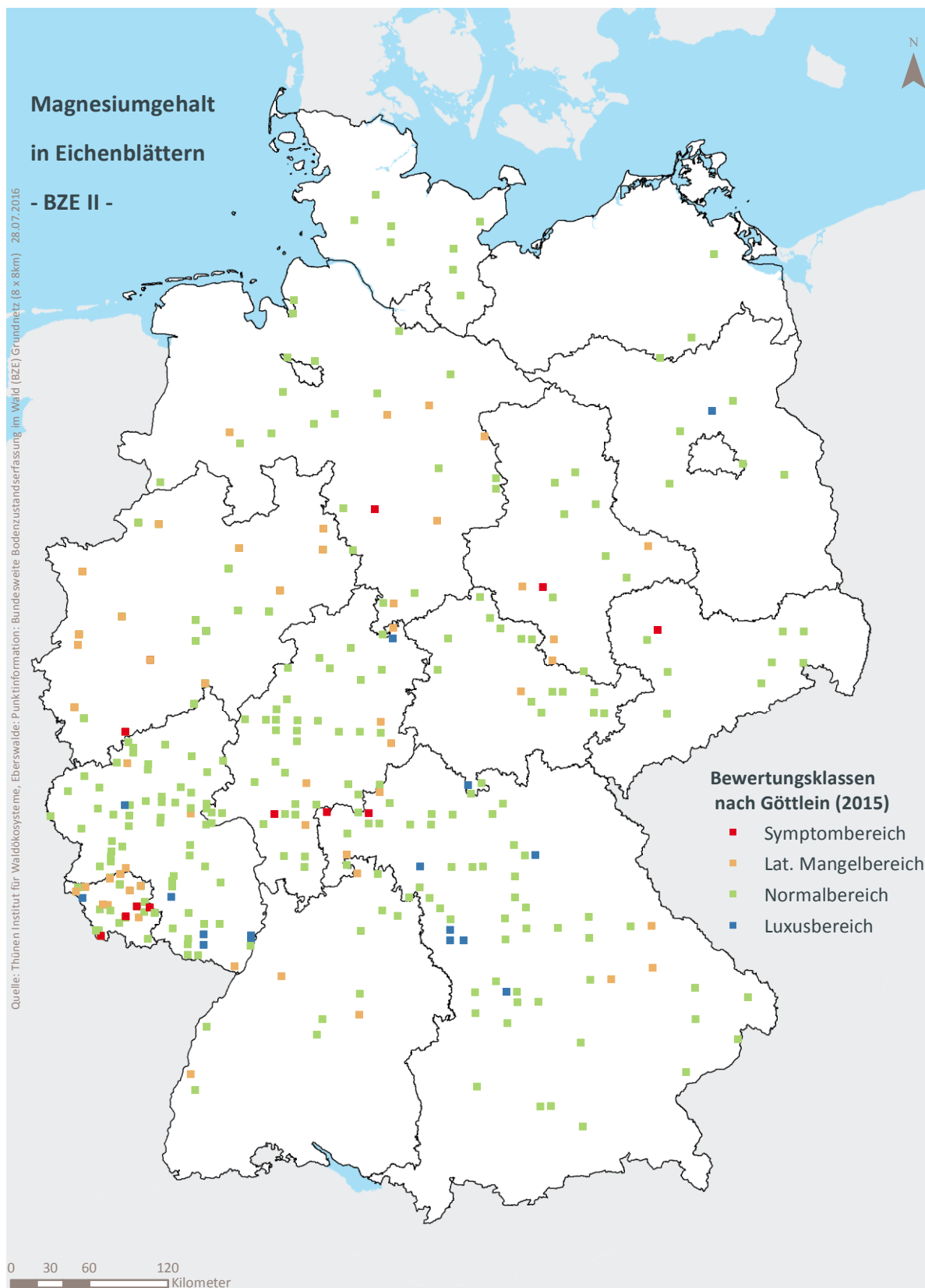
Karte II-8-17: Räumliche Verteilung der Magnesiumgehalte in Fichtennadeln bewertet nach Göttlein (2015), 1. Nadeljahrgang, (BZE II).



Karte II-8-18: Räumliche Verteilung der Magnesiumgehalte in Kiefernadeln bewertet nach Göttlein (2015), 1. Nadeljahrgang, (BZE II).

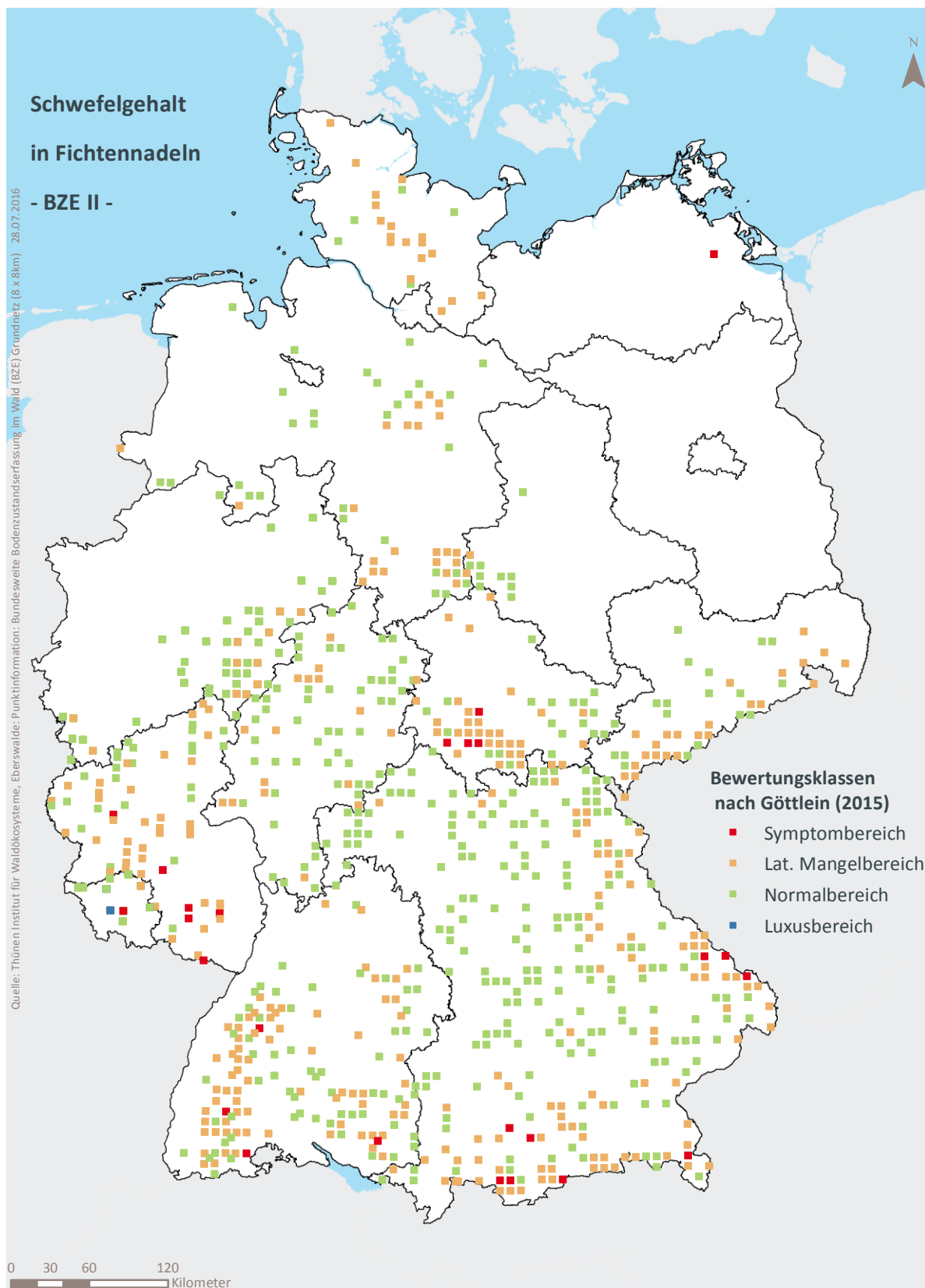


Karte II-8-19: Räumliche Verteilung der Magnesiumgehalte in Buchenblättern bewertet nach Göttlein (2015), (BZE II).

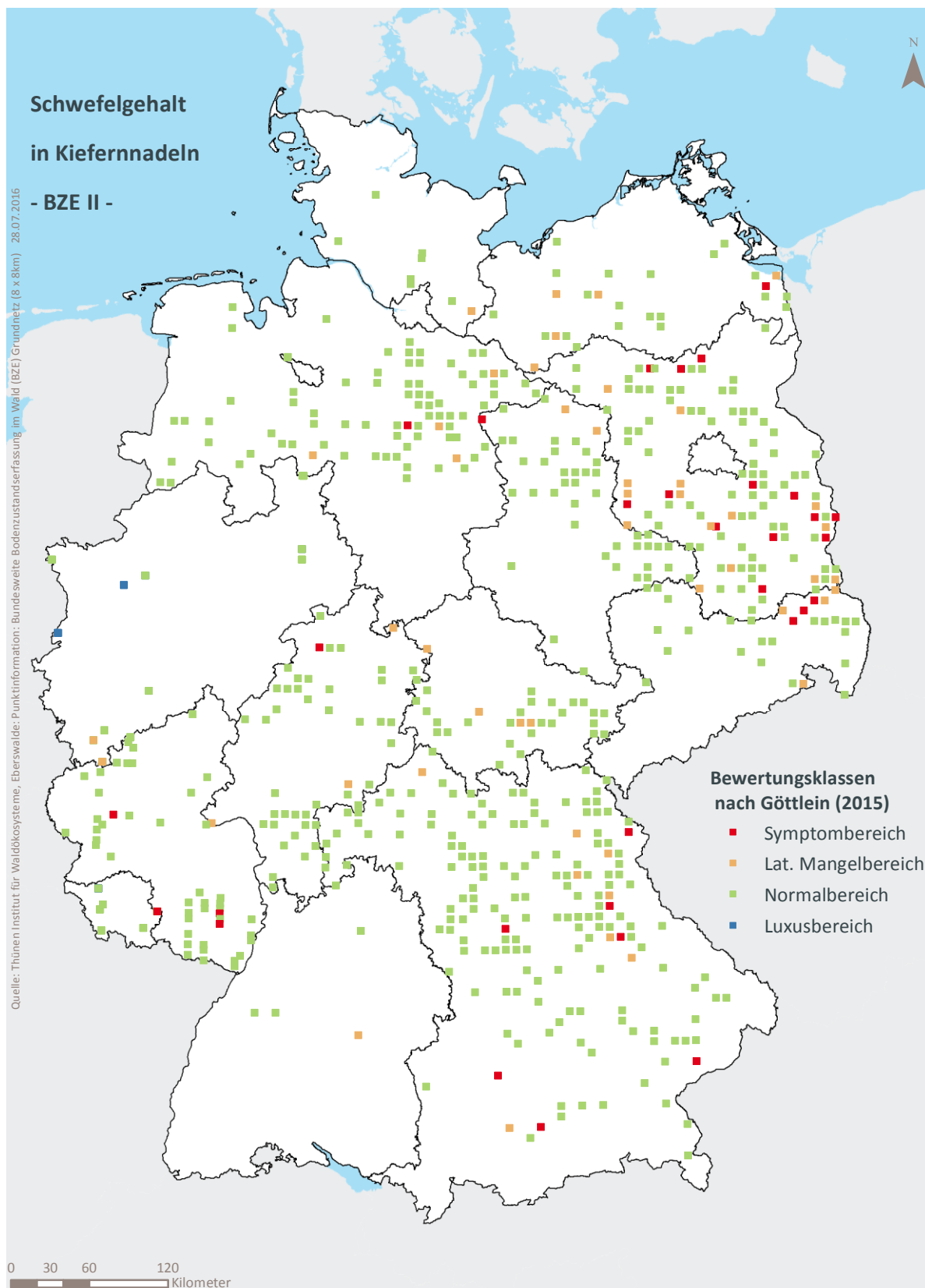


Karte II-8-20: Räumliche Verteilung der Magnesiumgehalte in Eichenblättern bewertet nach Göttlein (2015), (BZE II).

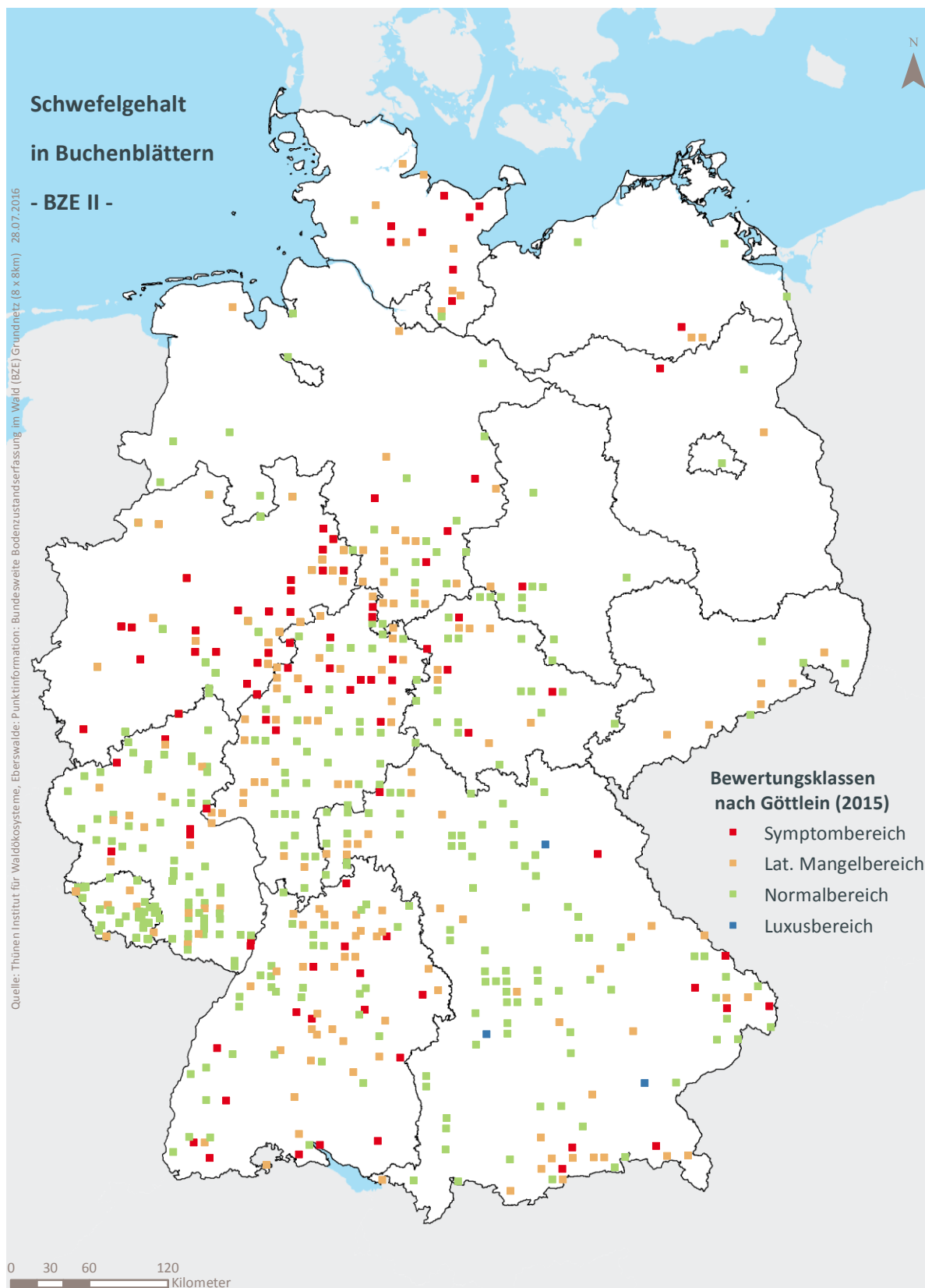
8.6 Räumliche Verteilung der Schwefelgehalte



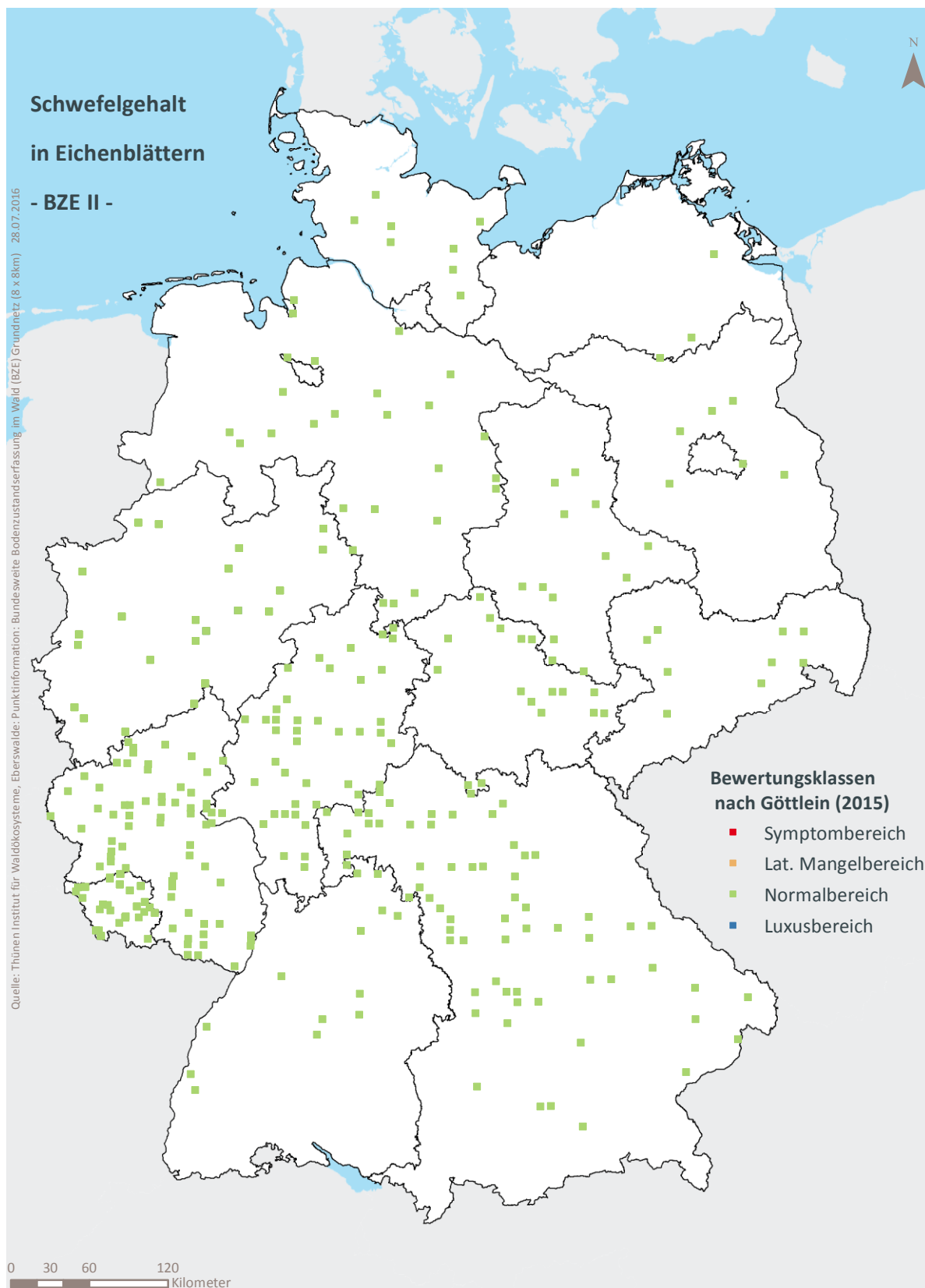
Karte II-8-21: Räumliche Verteilung der Schwefelgehalte in Fichtennadeln bewertet nach Göttlein (2015), 1. Nadeljahrgang, (BZE II).



Karte II-8-22: Räumliche Verteilung der Schwefelgehalte in Kiefernadeln bewertet nach Göttlein (2015), 1. Nadeljahrgang, (BZE II).

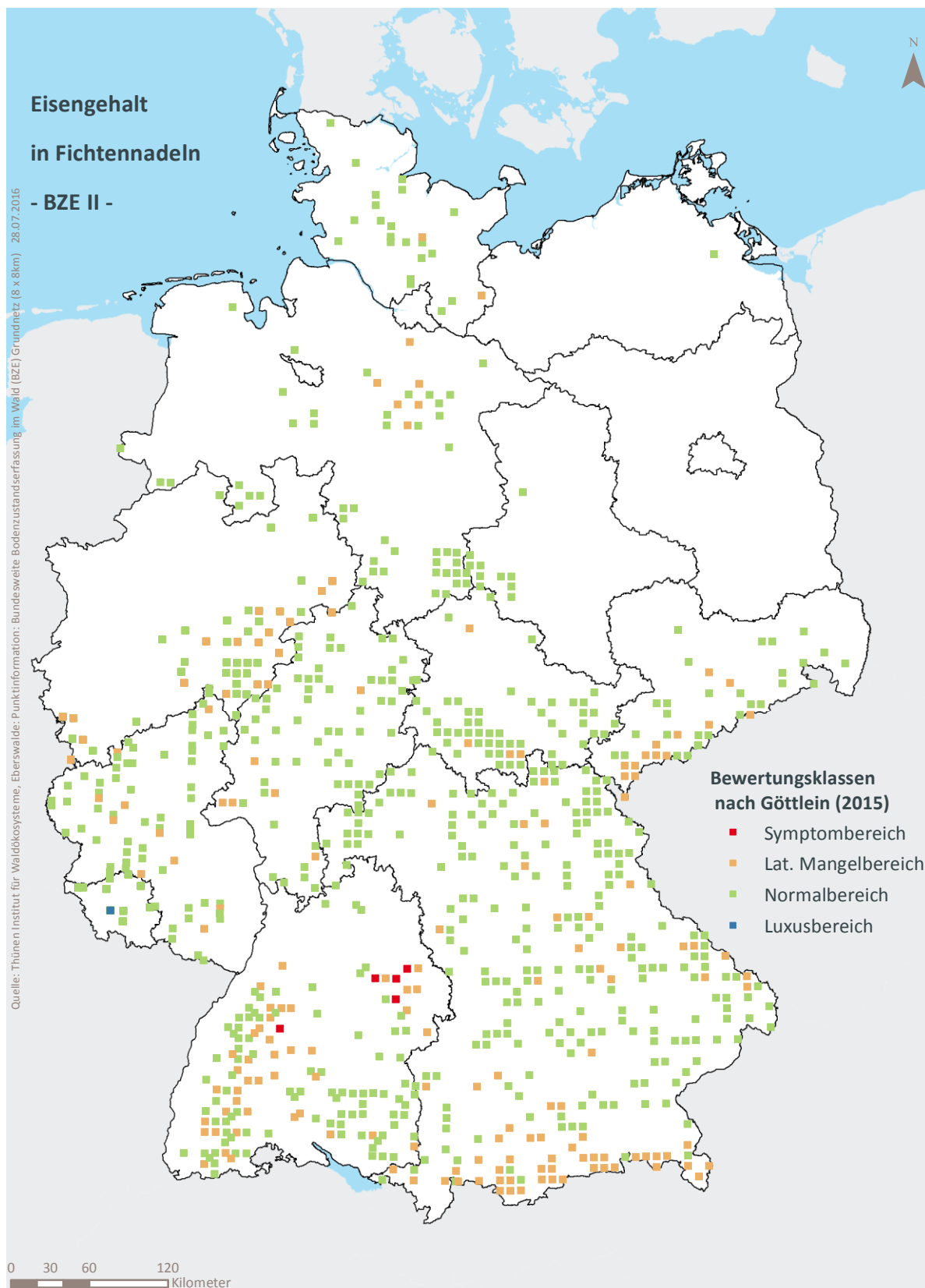


Karte II-8-23: Räumliche Verteilung der Schwefelgehalte in Buchenblättern bewertet nach Göttlein (2015), (BZE II).

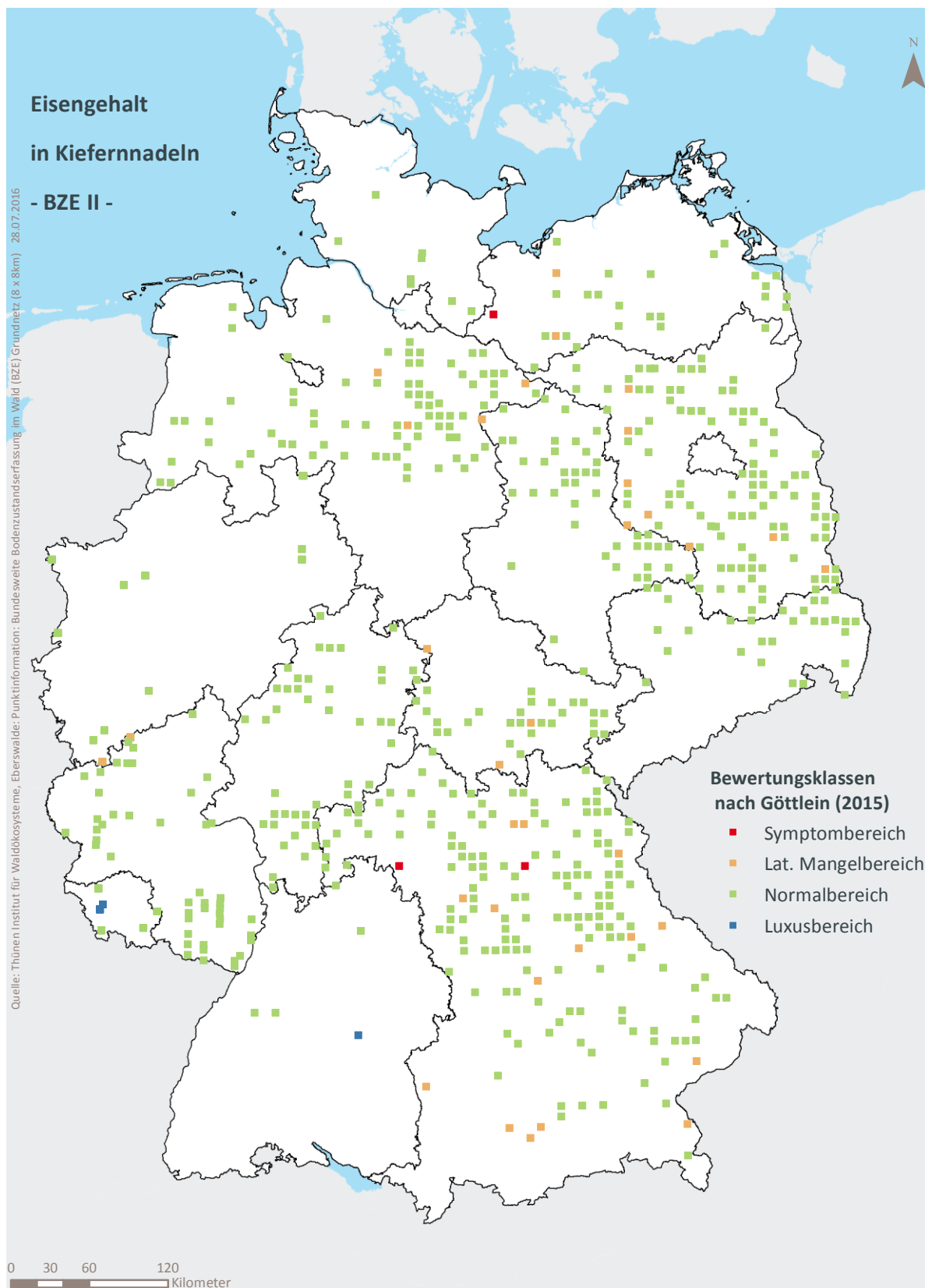


Karte II-8-24: Räumliche Verteilung der Schwefelgehalte in Eichenblättern bewertet nach Göttlein (2015), (BZE II).

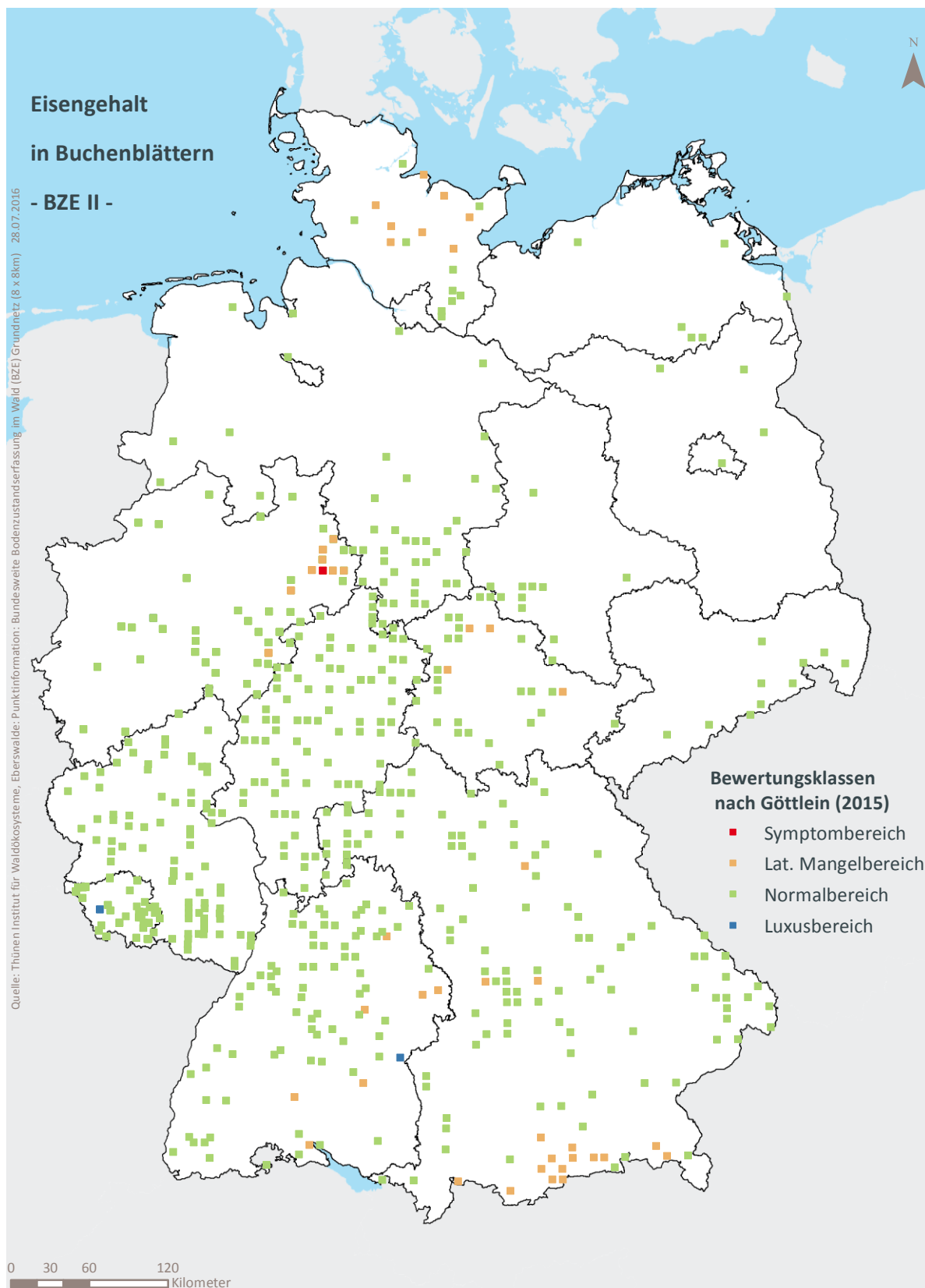
8.7 Räumliche Verteilung der Eisengehalte



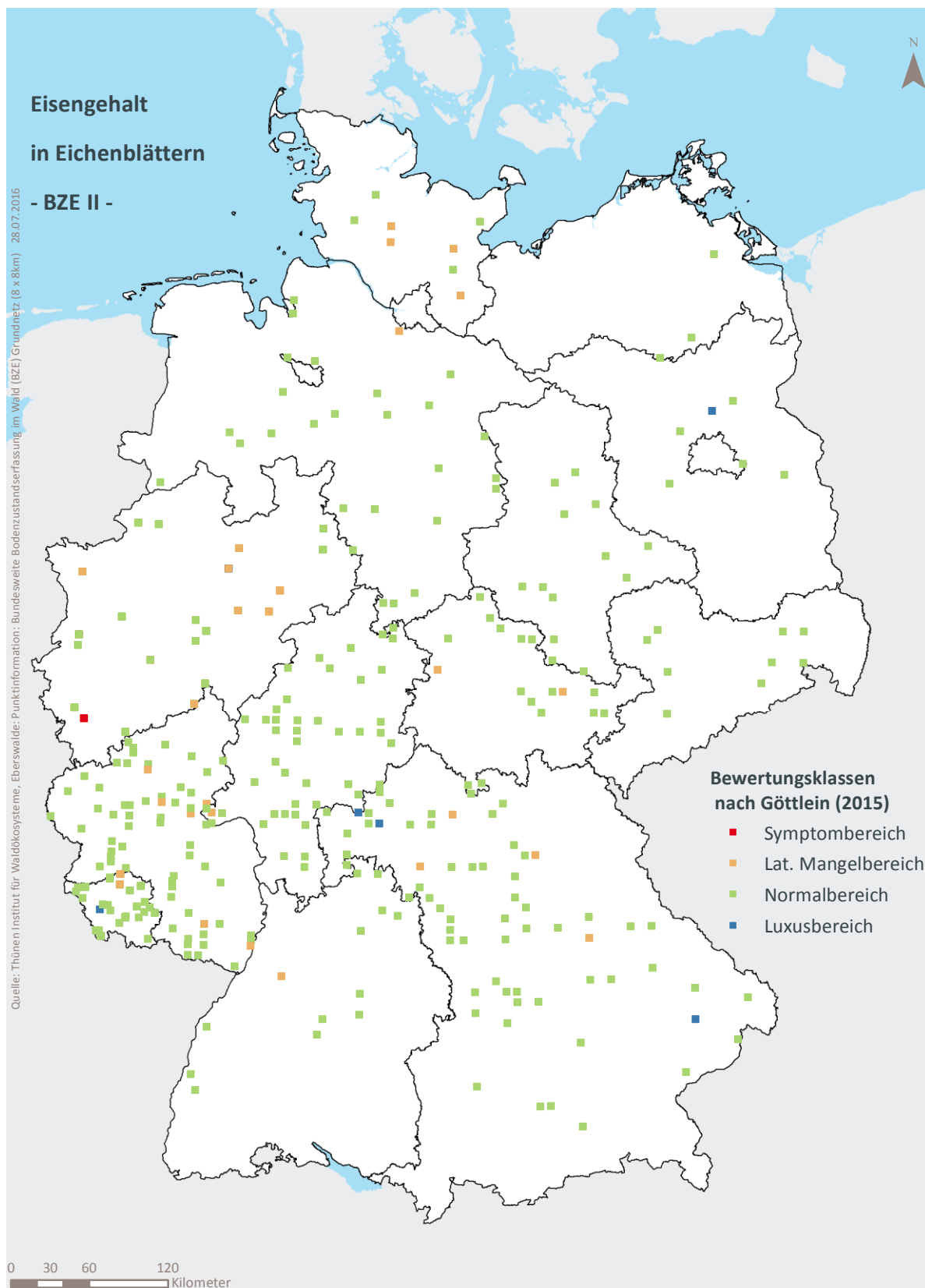
Karte II-8-25: Räumliche Verteilung der Eisengehalte in Fichtennadeln bewertet nach Göttlein (2015), 1. Nadeljahrgang, (BZE II).



Karte II-8-26: Räumliche Verteilung der Eisengehalte in Kiefernadeln bewertet nach Göttlein (2015), 1. Nadeljahrgang, (BZE II).

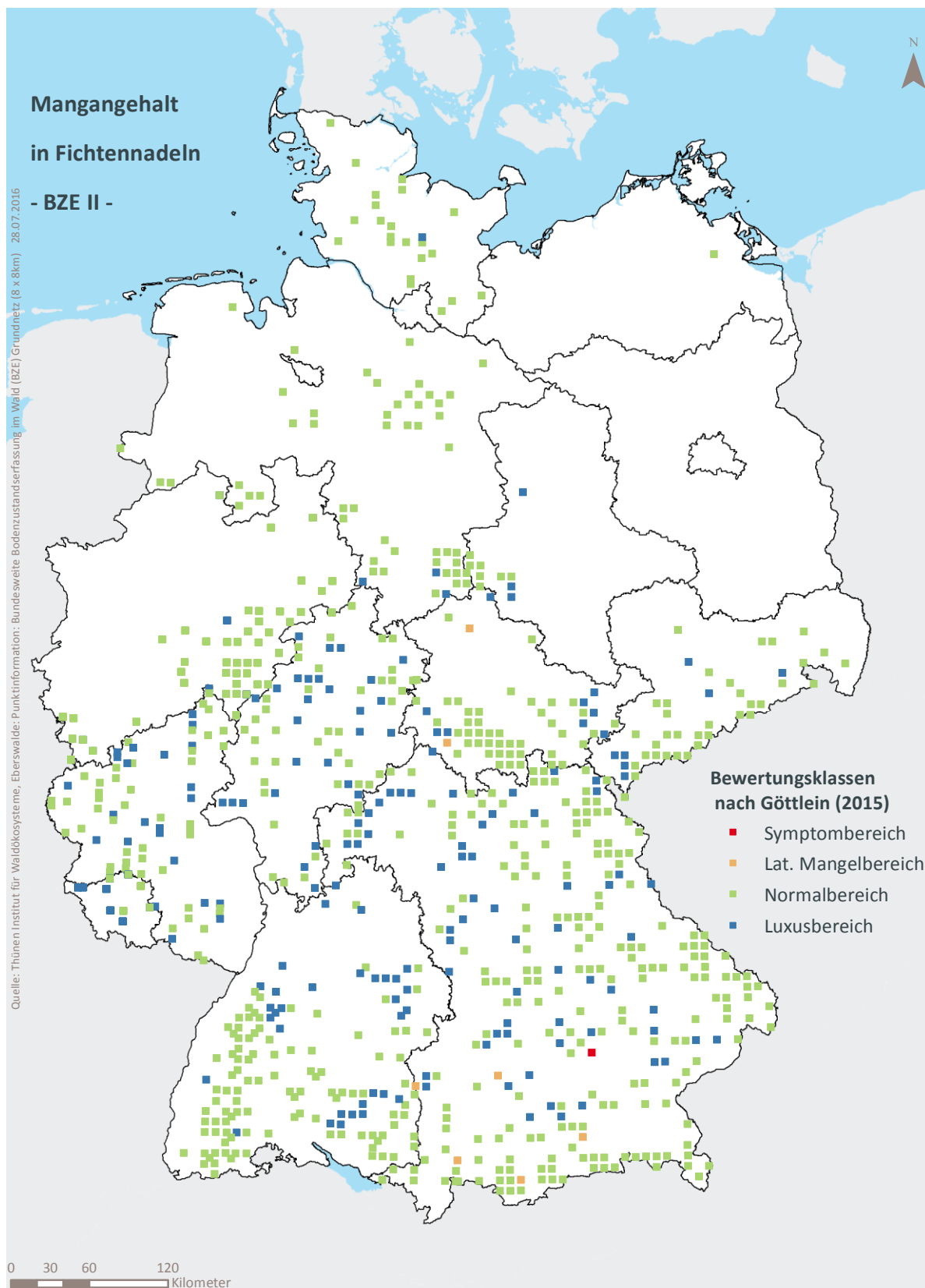


Karte II-8-27: Räumliche Verteilung der Eisengehalte in Buchenblättern bewertet nach Göttsche (2015), (BZE II).

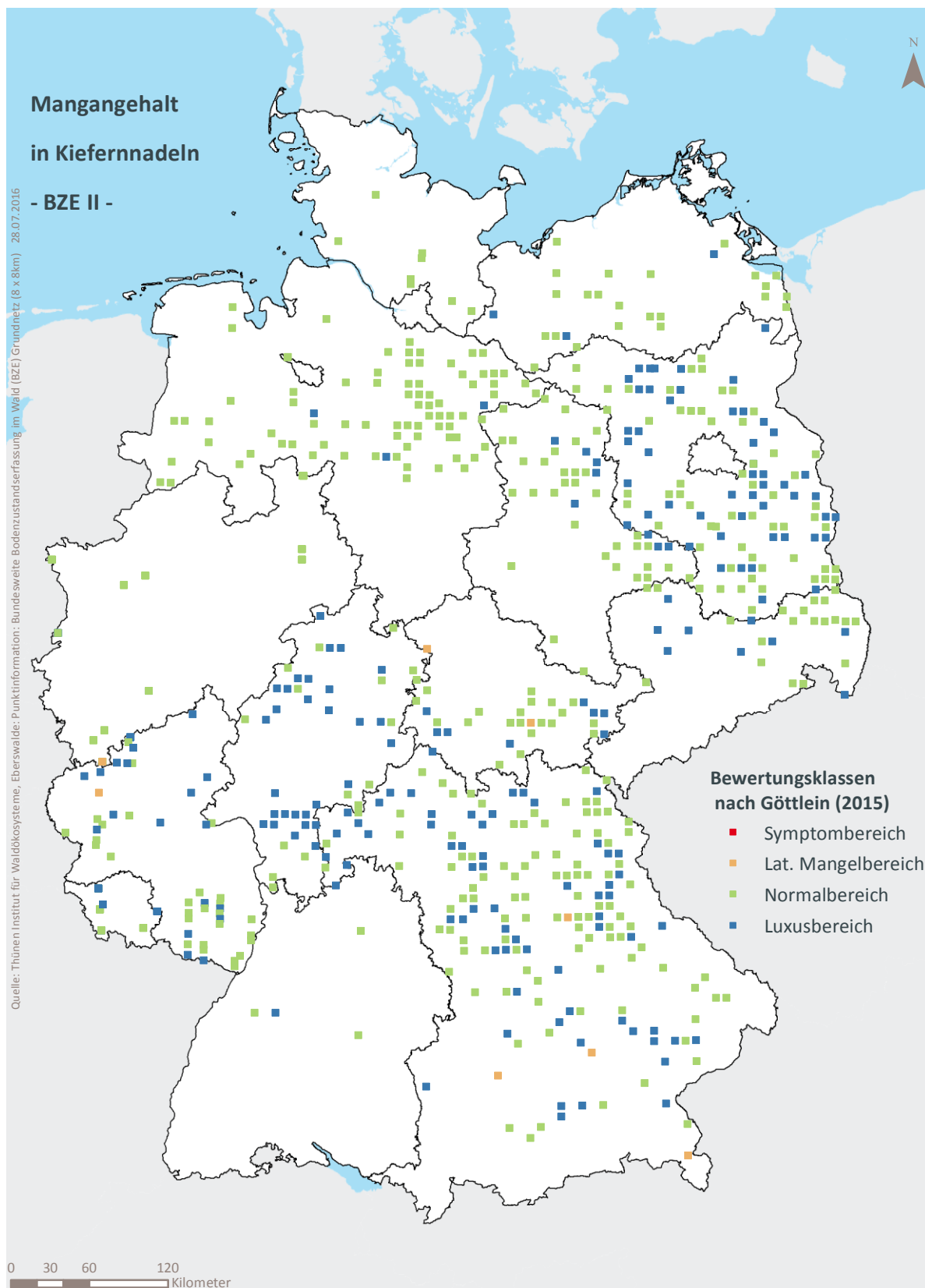


Karte II-8-28: Räumliche Verteilung der Eisengehalte in Eichenblättern bewertet nach Göttlein (2015), (BZE II).

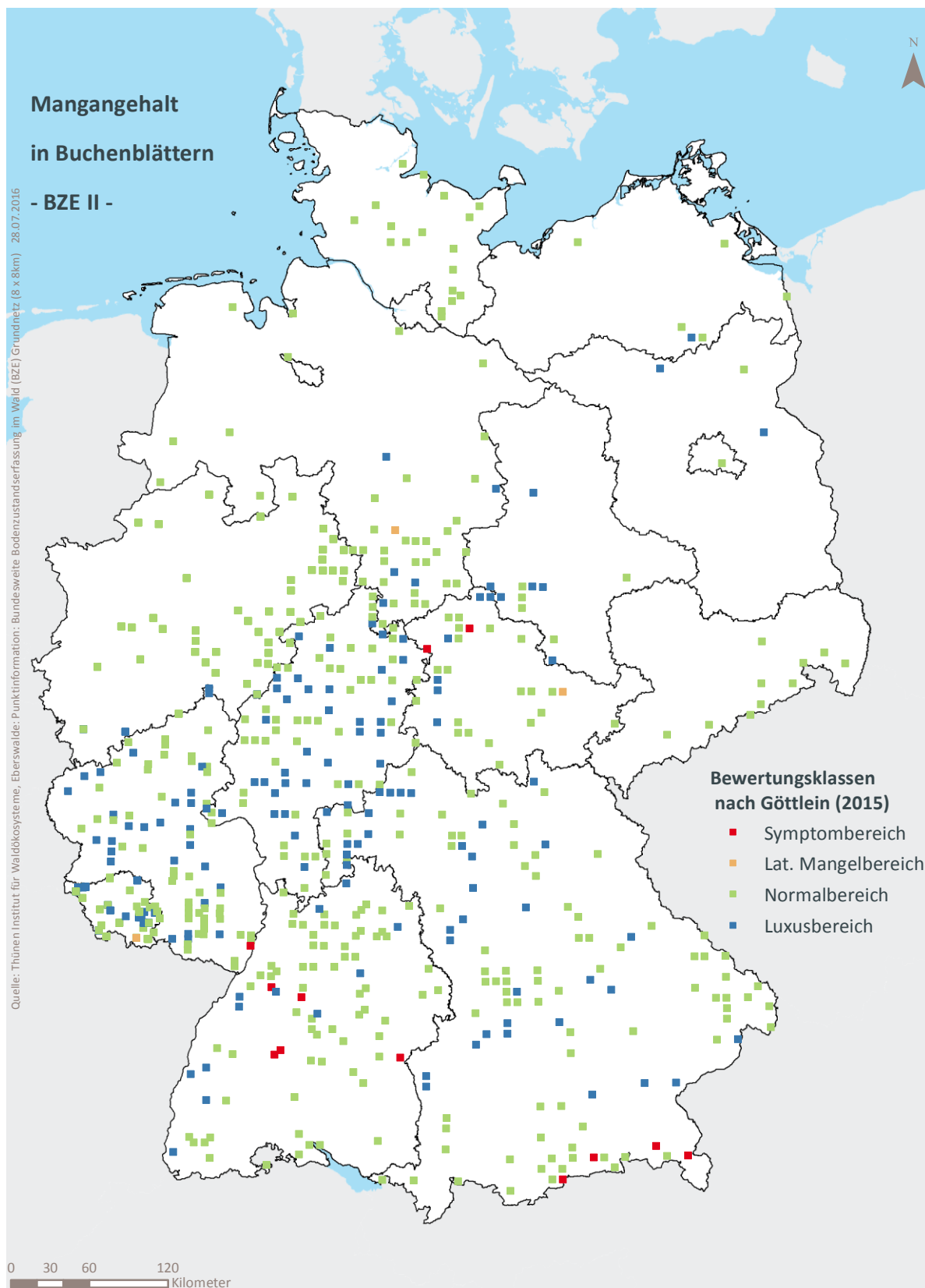
8.8 Räumliche Verteilung der Mangangehalte



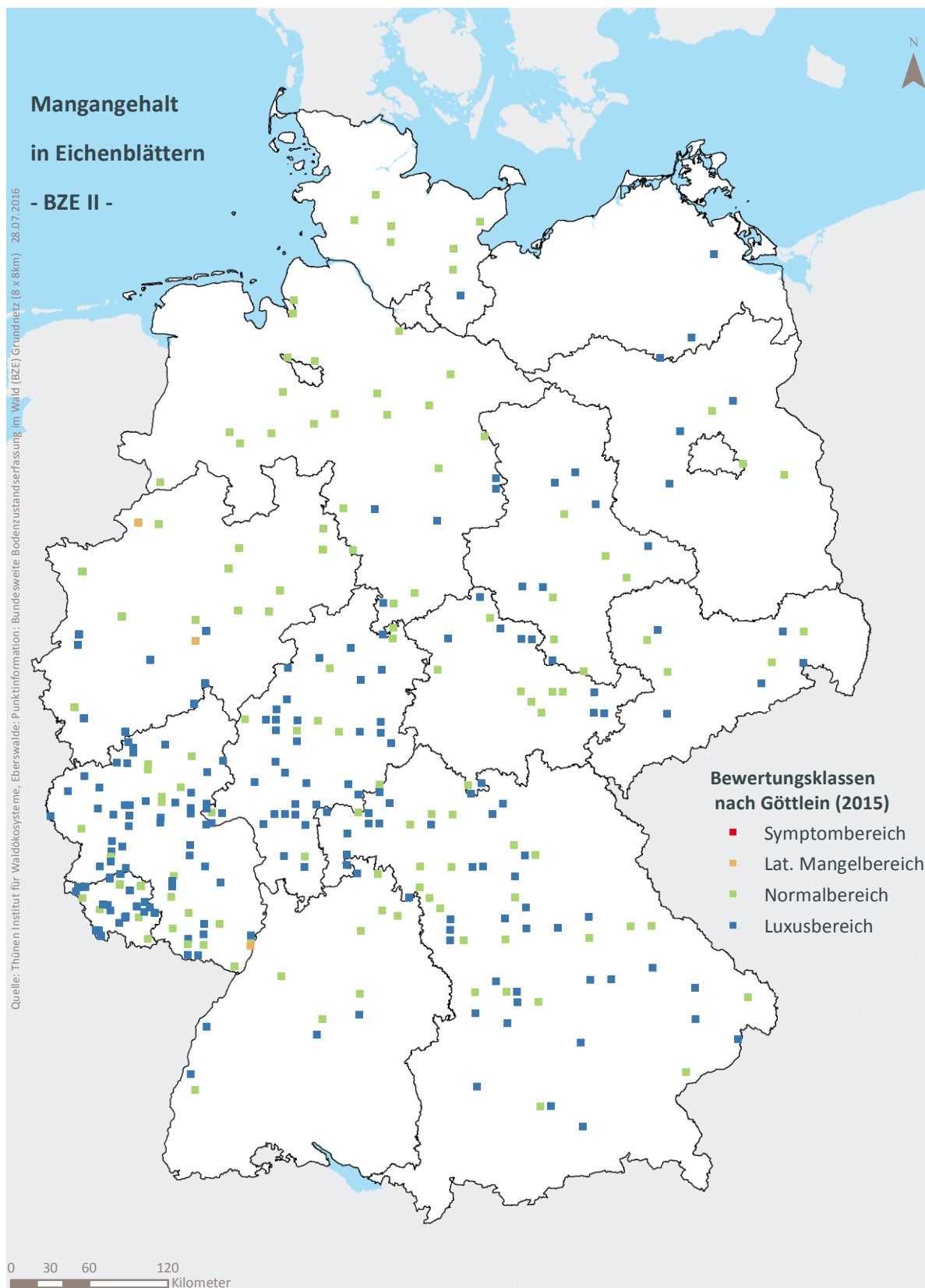
Karte II-8-29: Räumliche Verteilung der Mangangehalte in Fichtennadeln bewertet nach Göttlein (2015), 1. Nadeljahrgang, (BZE II).



Karte II-8-30: Räumliche Verteilung der Mangangehalte in Kiefernadeln bewertet nach Göttlein (2015), 1. Nadeljahrgang, (BZE II).

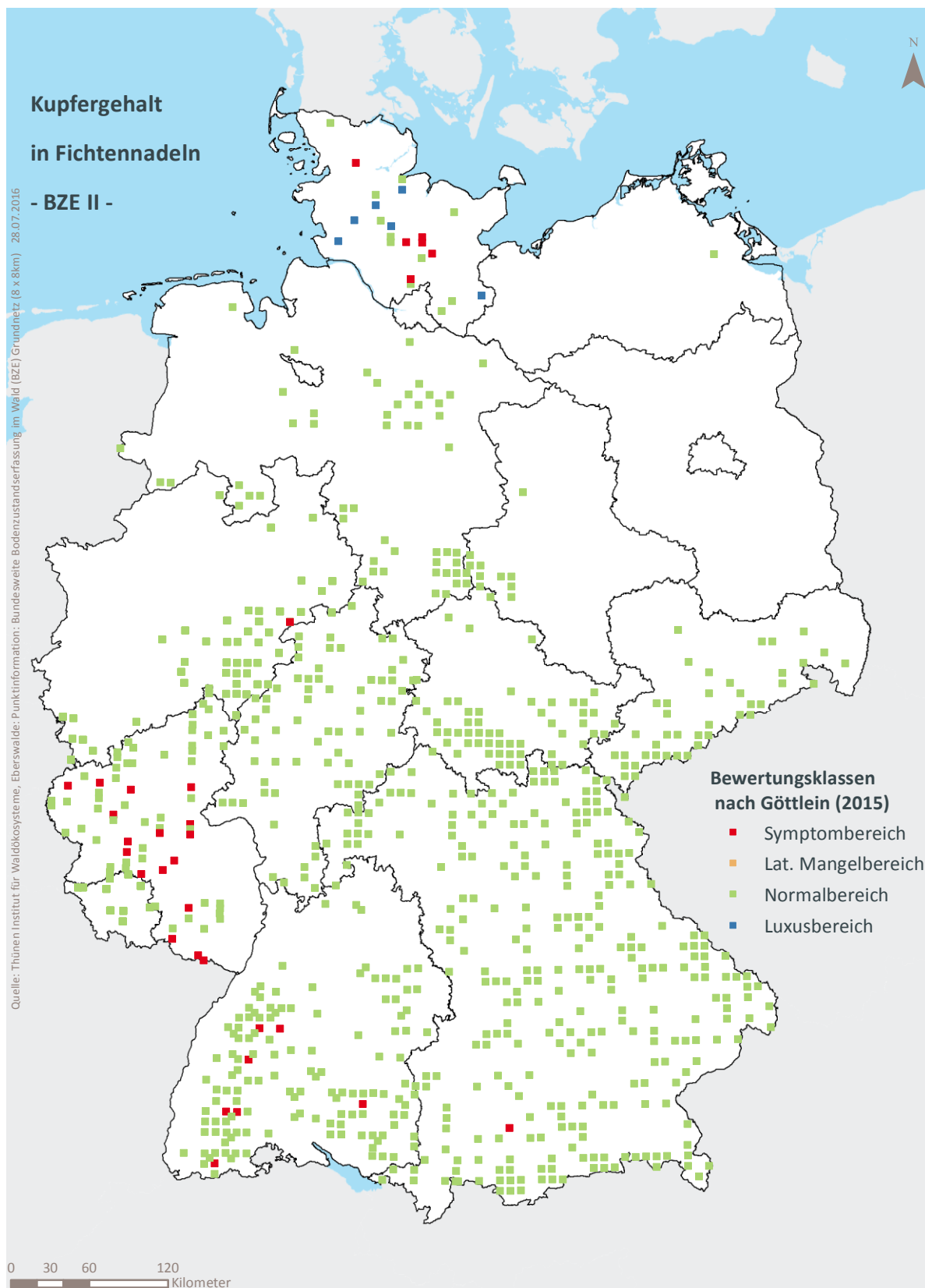


Karte II-8-31: Räumliche Verteilung der Mangangehalte in Buchenblättern bewertet nach Göttlein (2015), (BZE II).

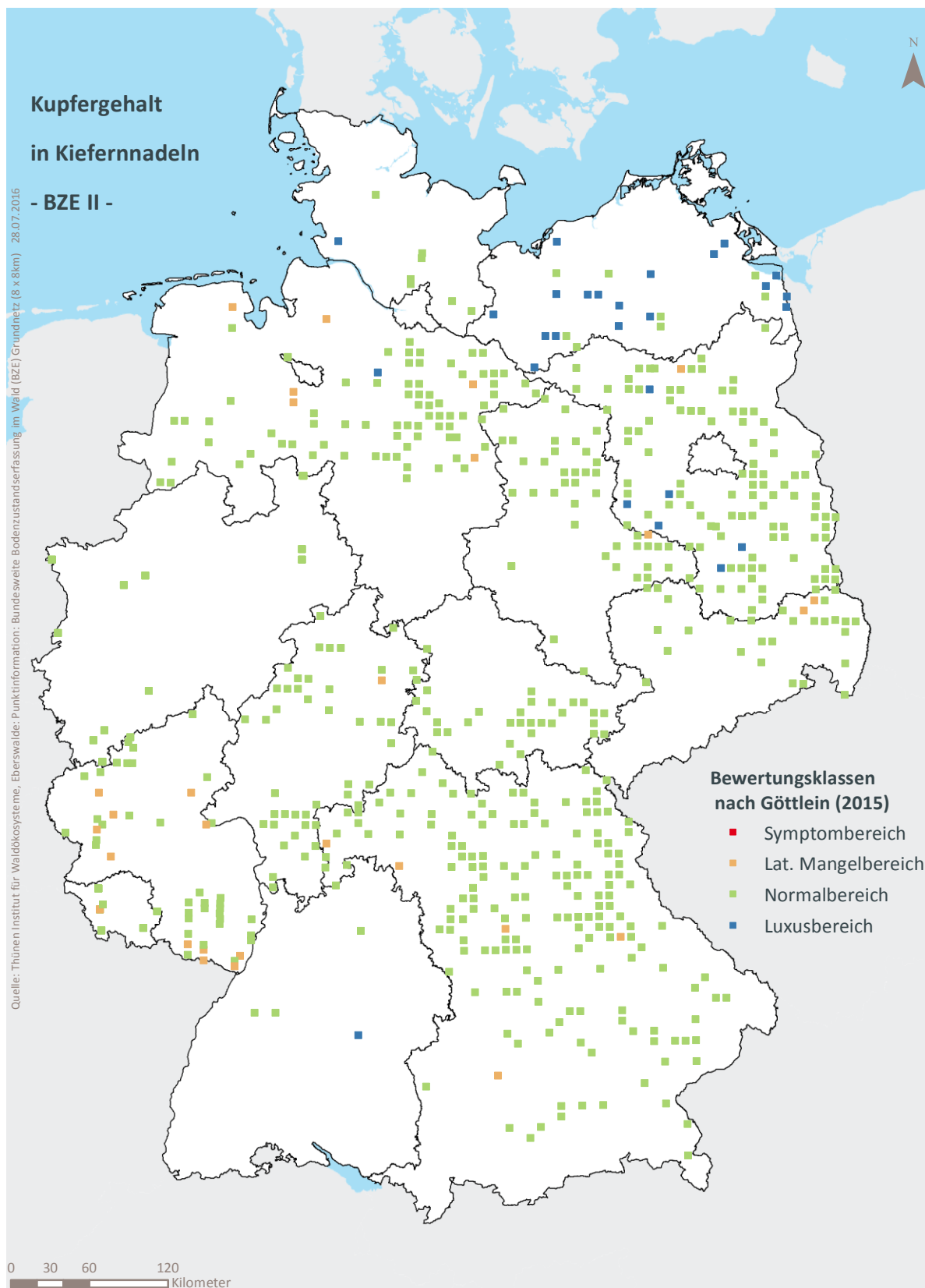


Karte II-8-32: Räumliche Verteilung der Mangangehalte in Eichenblättern bewertet nach Göttlein (2015), (BZE II).

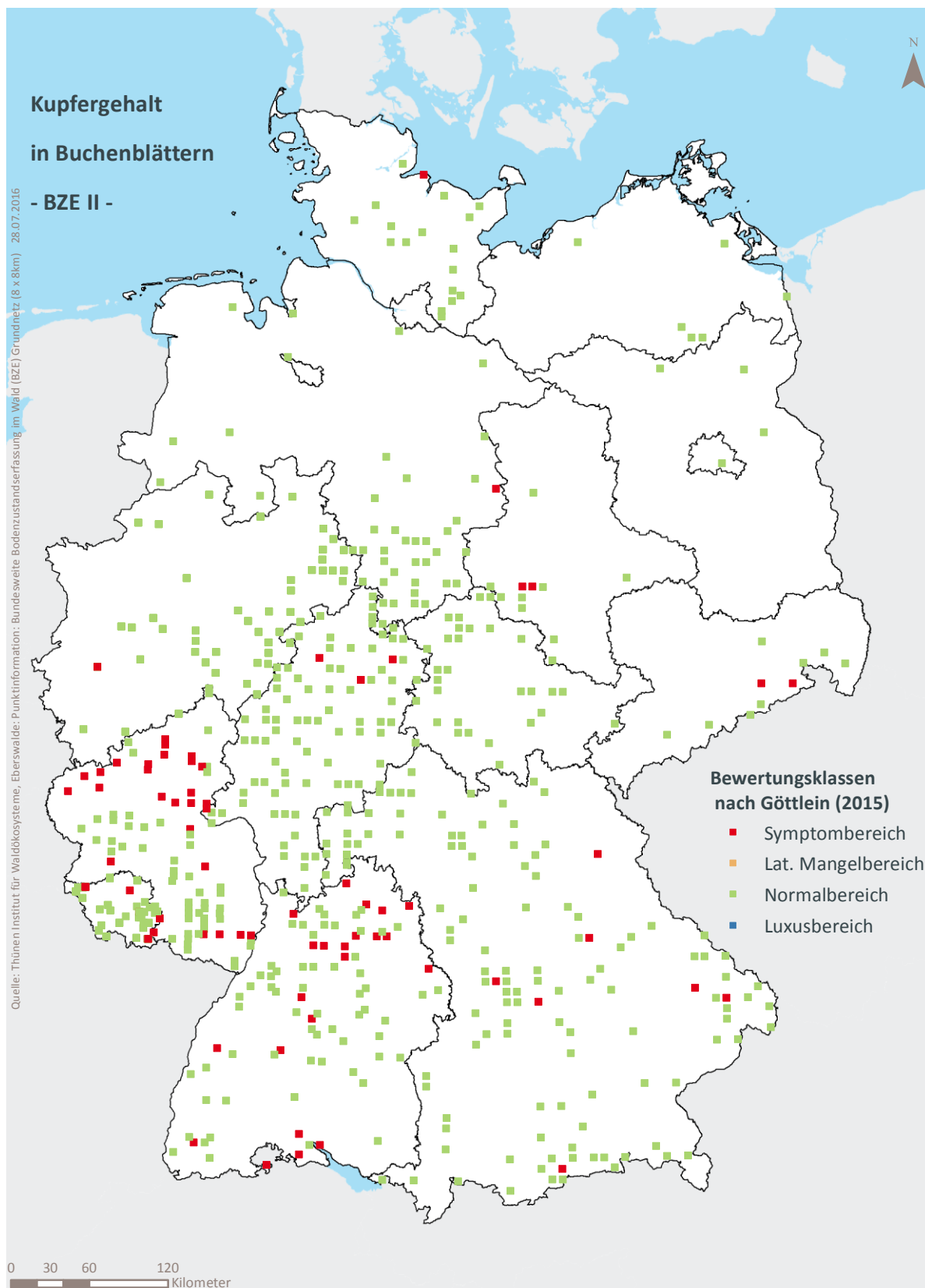
8.9 Räumliche Verteilung der Kupfergehalte



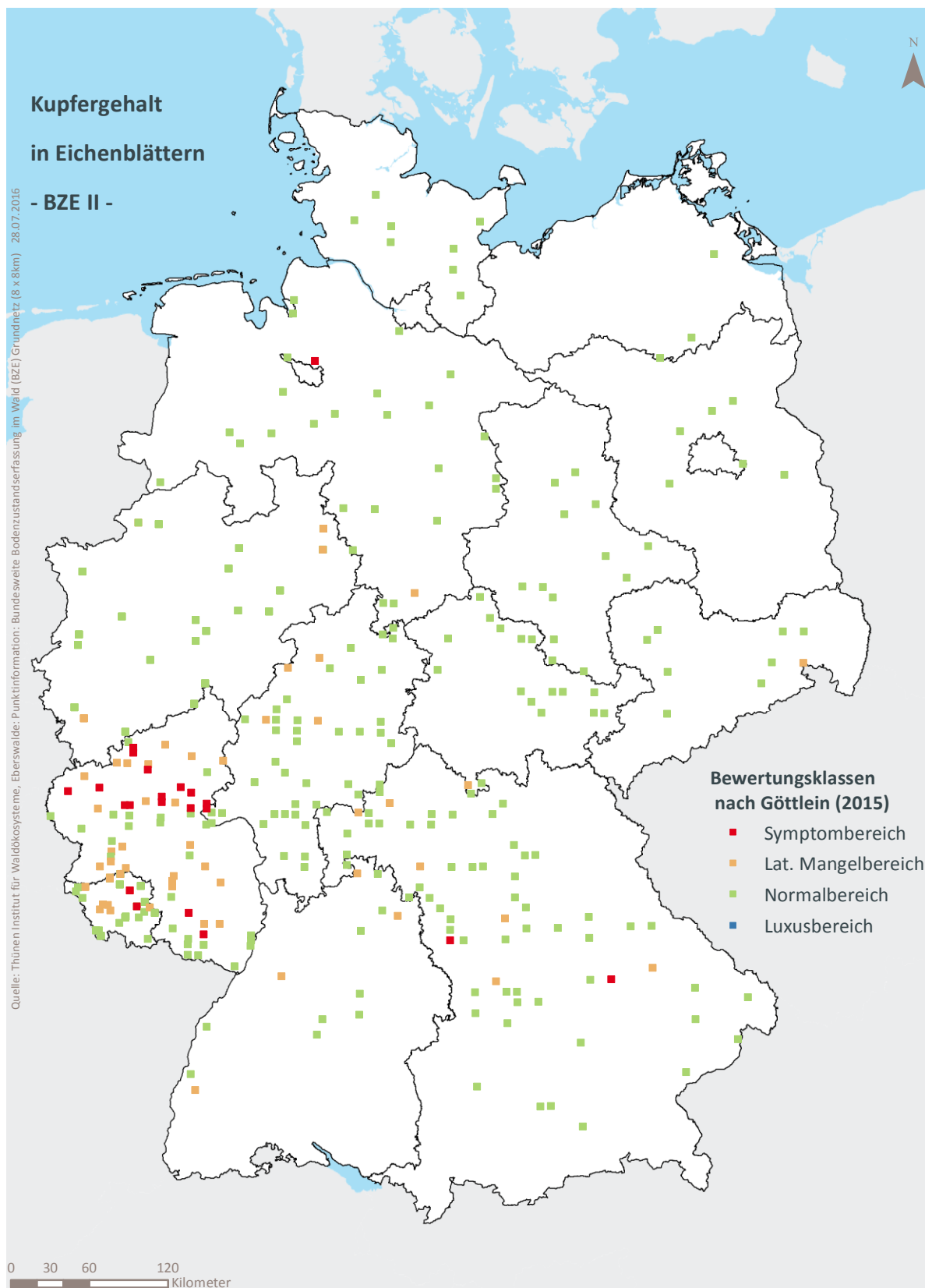
Karte II-8-33: Räumliche Verteilung der Kupfergehalte in Fichtennadeln bewertet nach Göttsche (2015), 1. Nadeljahrgang, (BZE II).



Karte II-8-34: Räumliche Verteilung der Kupfergehalte in Kiefernadeln bewertet nach Göttlein (2015), 1. Nadeljahrgang, (BZE II).

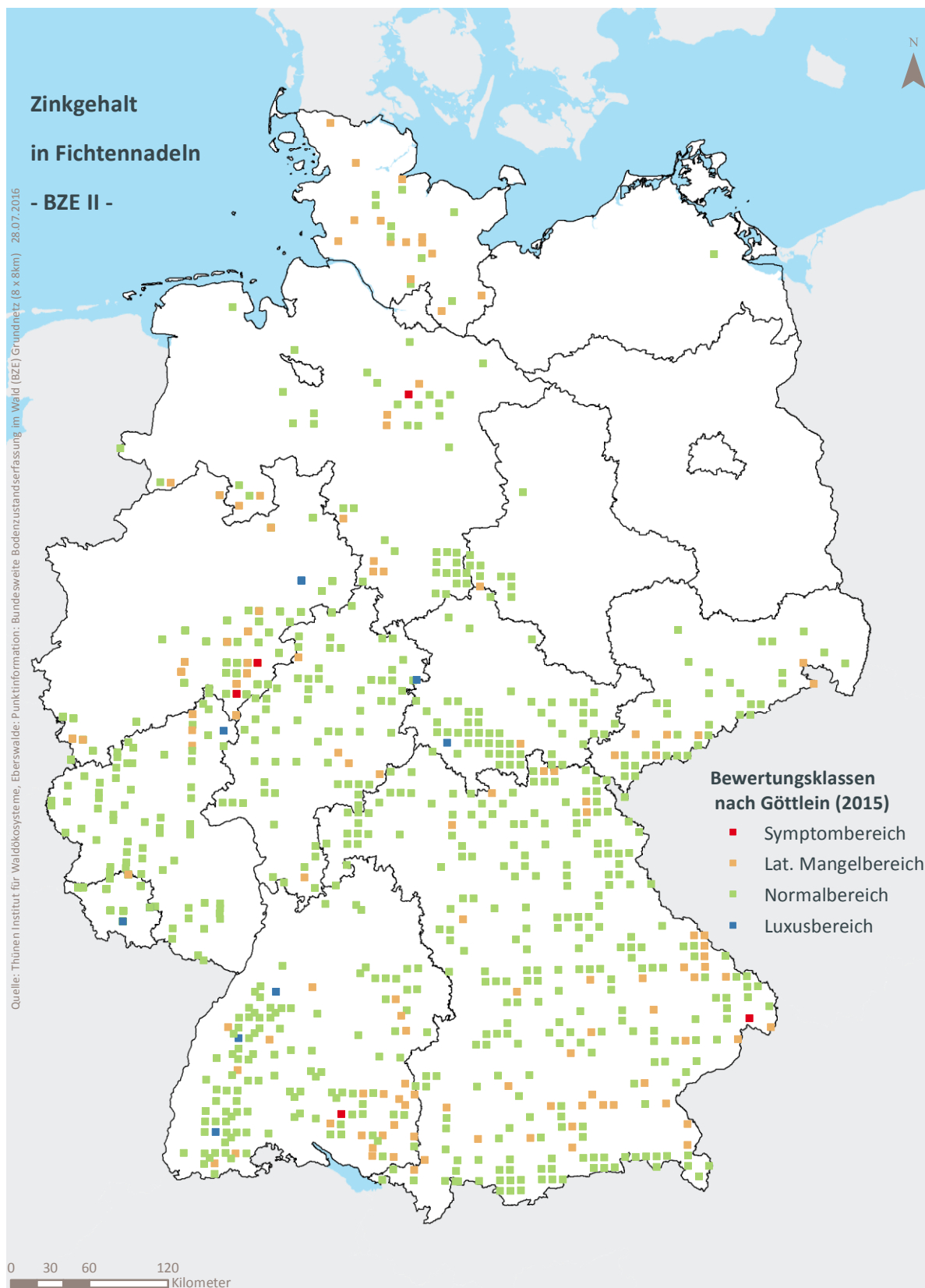


Karte II-8-35: Räumliche Verteilung der Kupfergehalte in Buchenblättern bewertet nach Göttlein (2015), (BZE II).

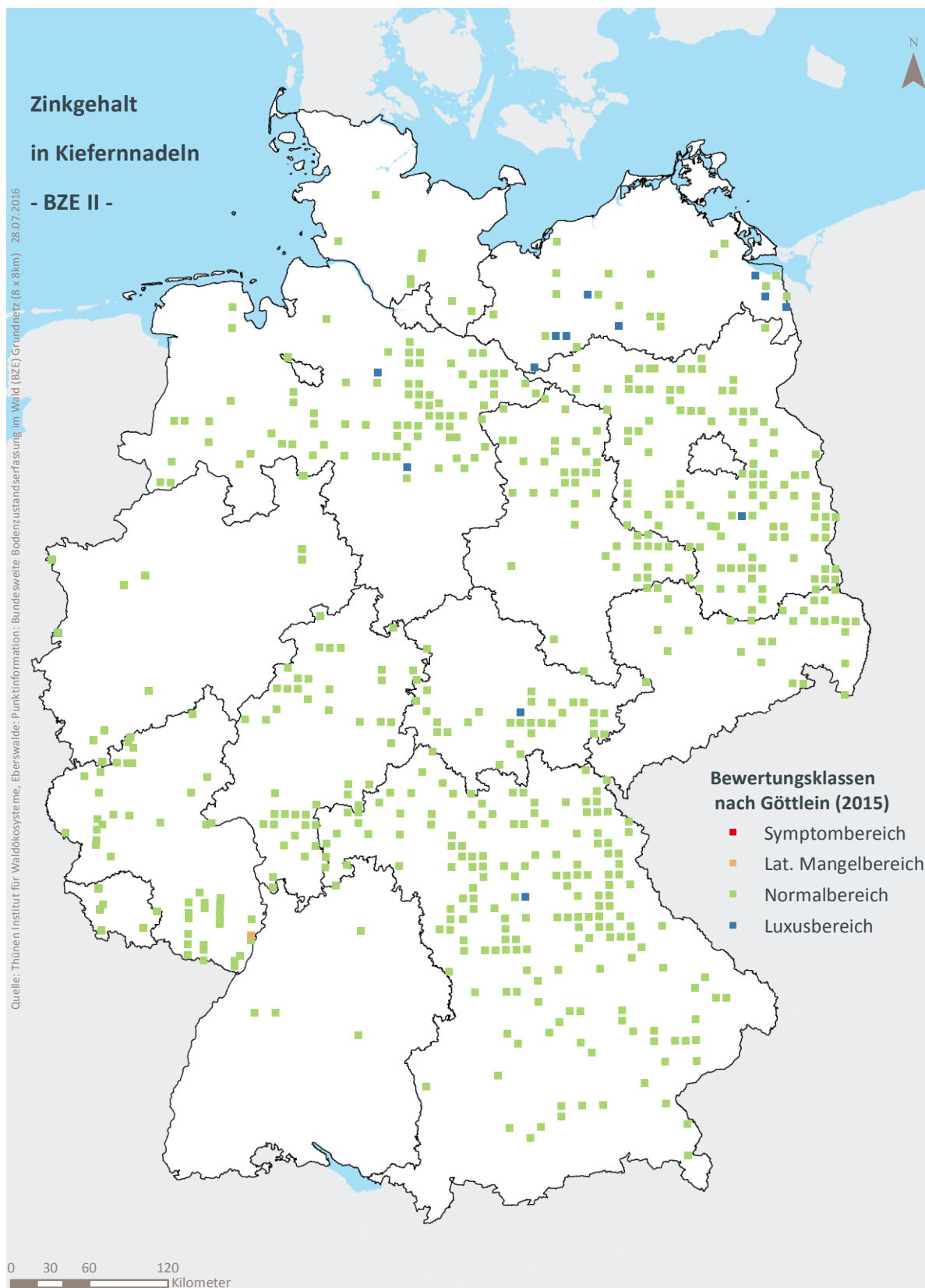


Karte II-8-36: Räumliche Verteilung der Kupfergehalte in Eichenblättern bewertet nach Göttsche (2015), (BZE II).

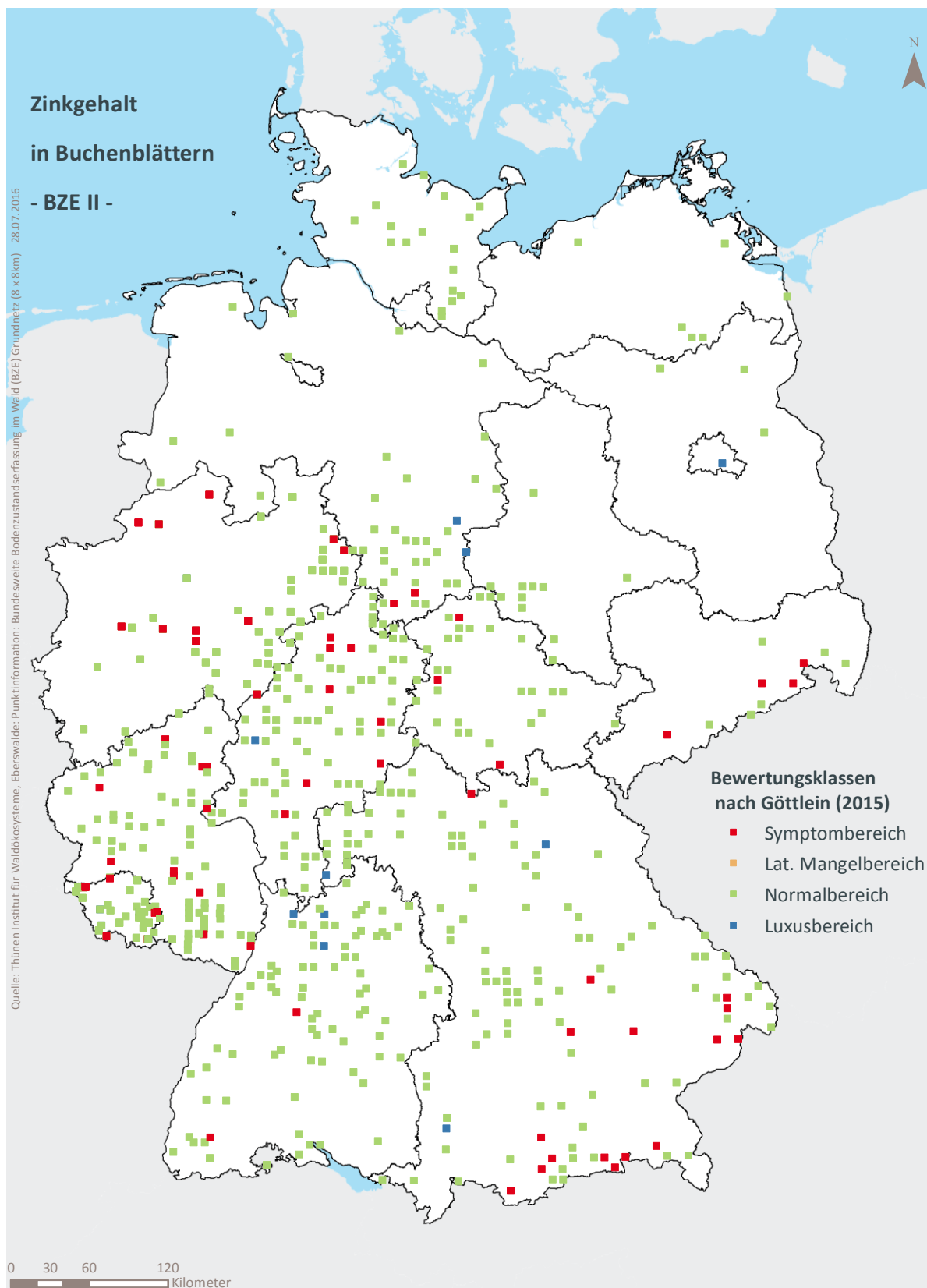
8.10 Räumliche Verteilung der Zinkgehalte



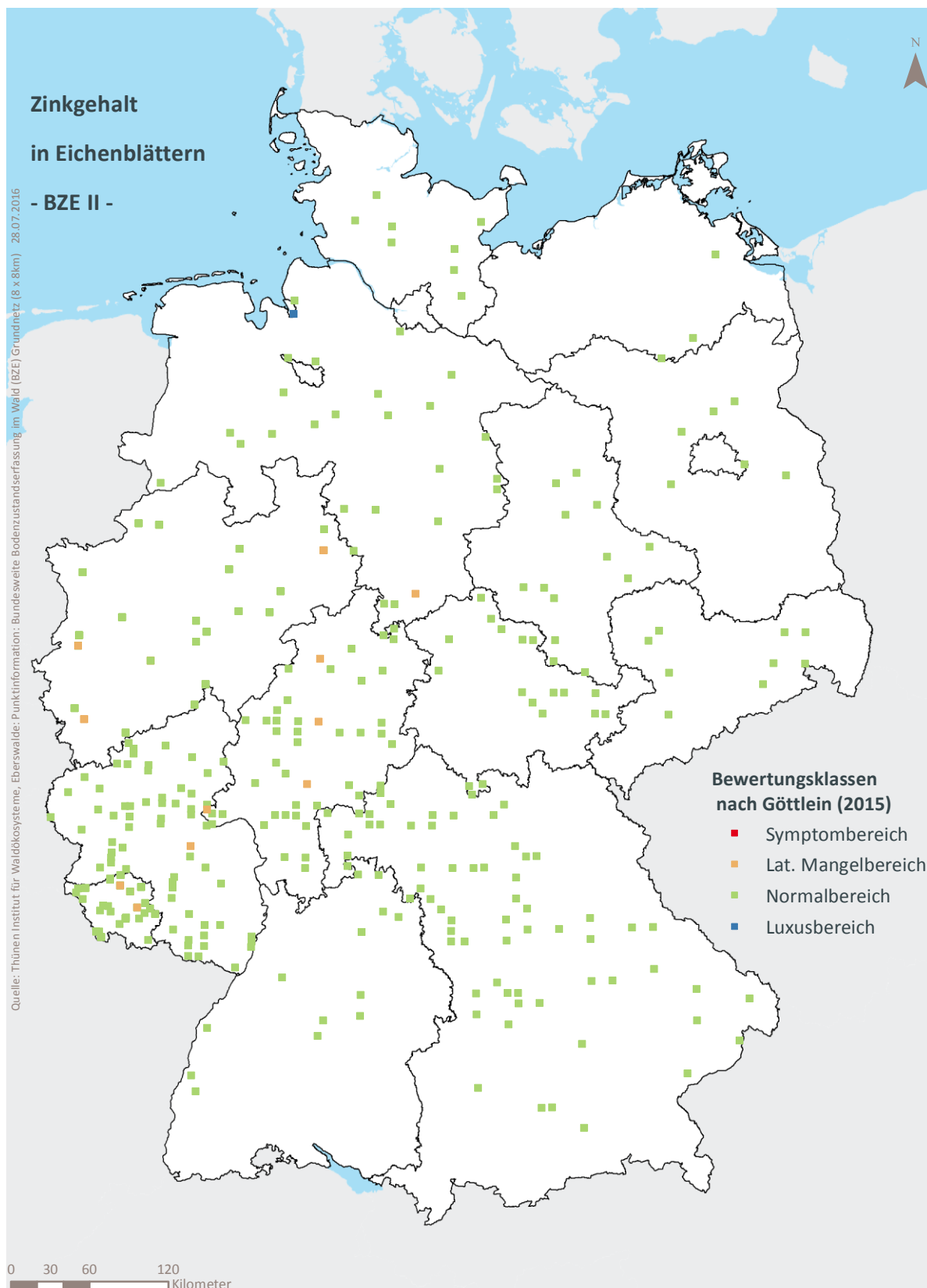
Karte II-8-37: Räumliche Verteilung der Zinkgehalte in Fichtennadeln bewertet nach Göttlein (2015), 1. Nadeljahrgang, (BZE II).



Karte II-8-38: Räumliche Verteilung der Zinkgehalte in Kiefernadeln bewertet nach Göttlein (2015), 1. Nadeljahrgang, (BZE II).



Karte II-8-39: Räumliche Verteilung der Zinkgehalte in Buchenblättern bewertet nach Göttlein (2015), (BZE II).



Karte II-8-40: Räumliche Verteilung der Zinkgehalte in Eichenblättern bewertet nach Göttlein (2015), (BZE II).